

8. Východoslovenský bioptický seminár  
Košice 2018

Prípad SD-IAP č. 667

Magdaléna Puchertová  
Boris Rychlý

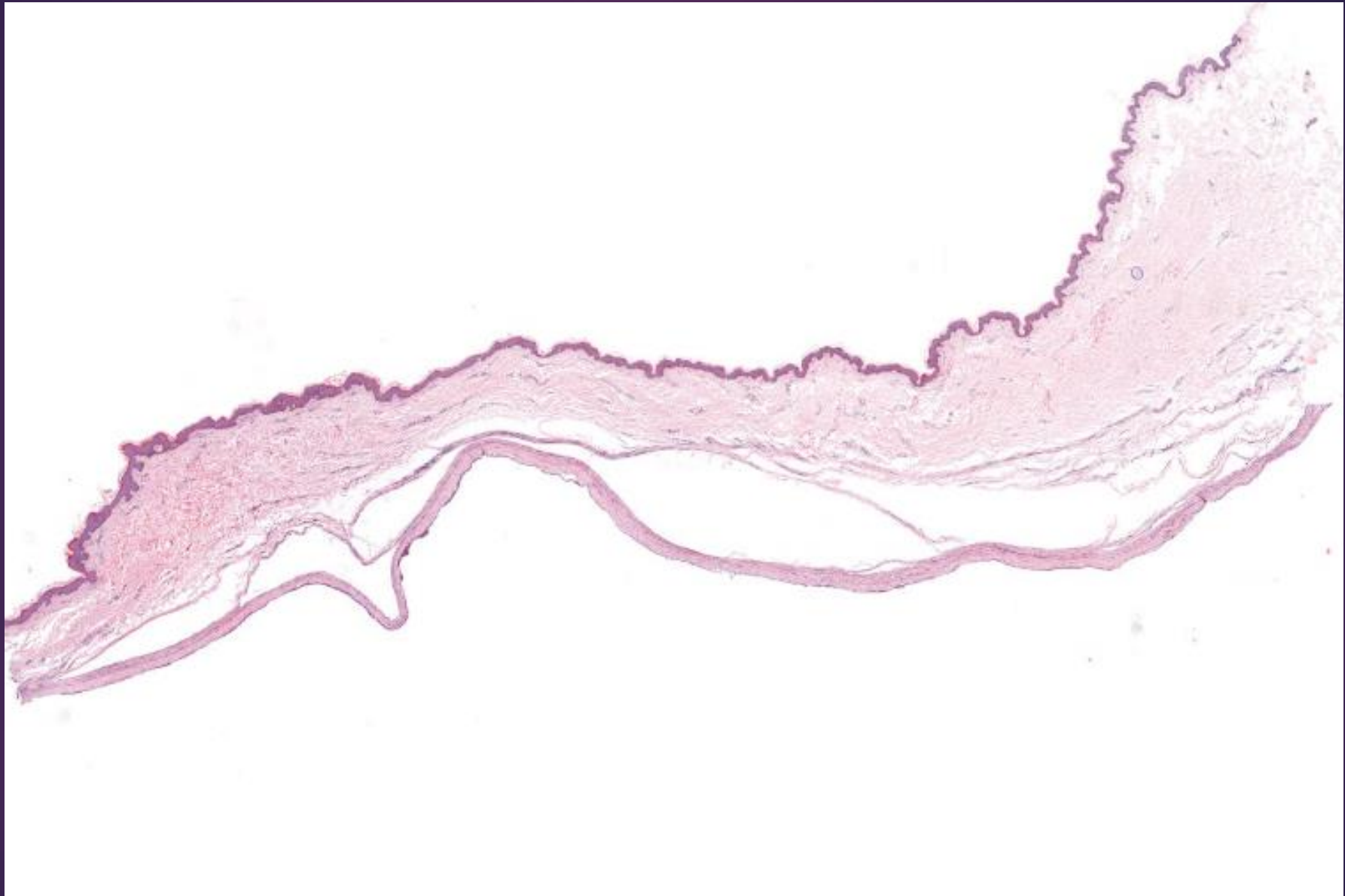


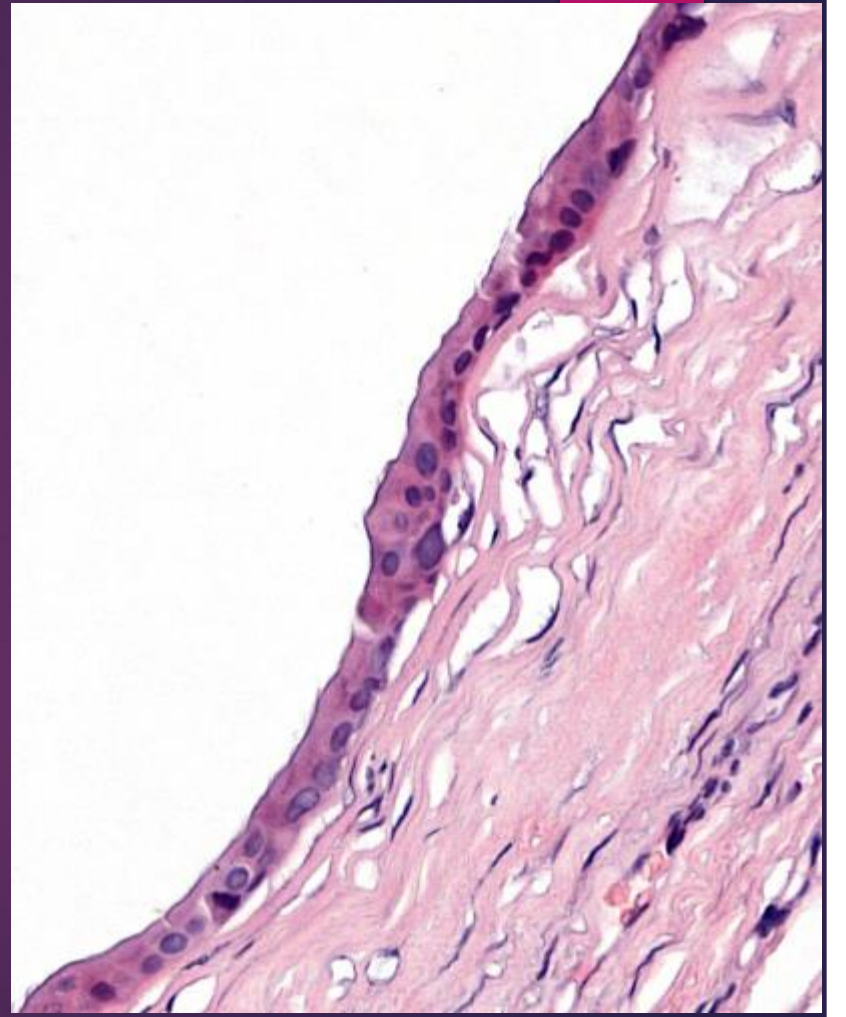
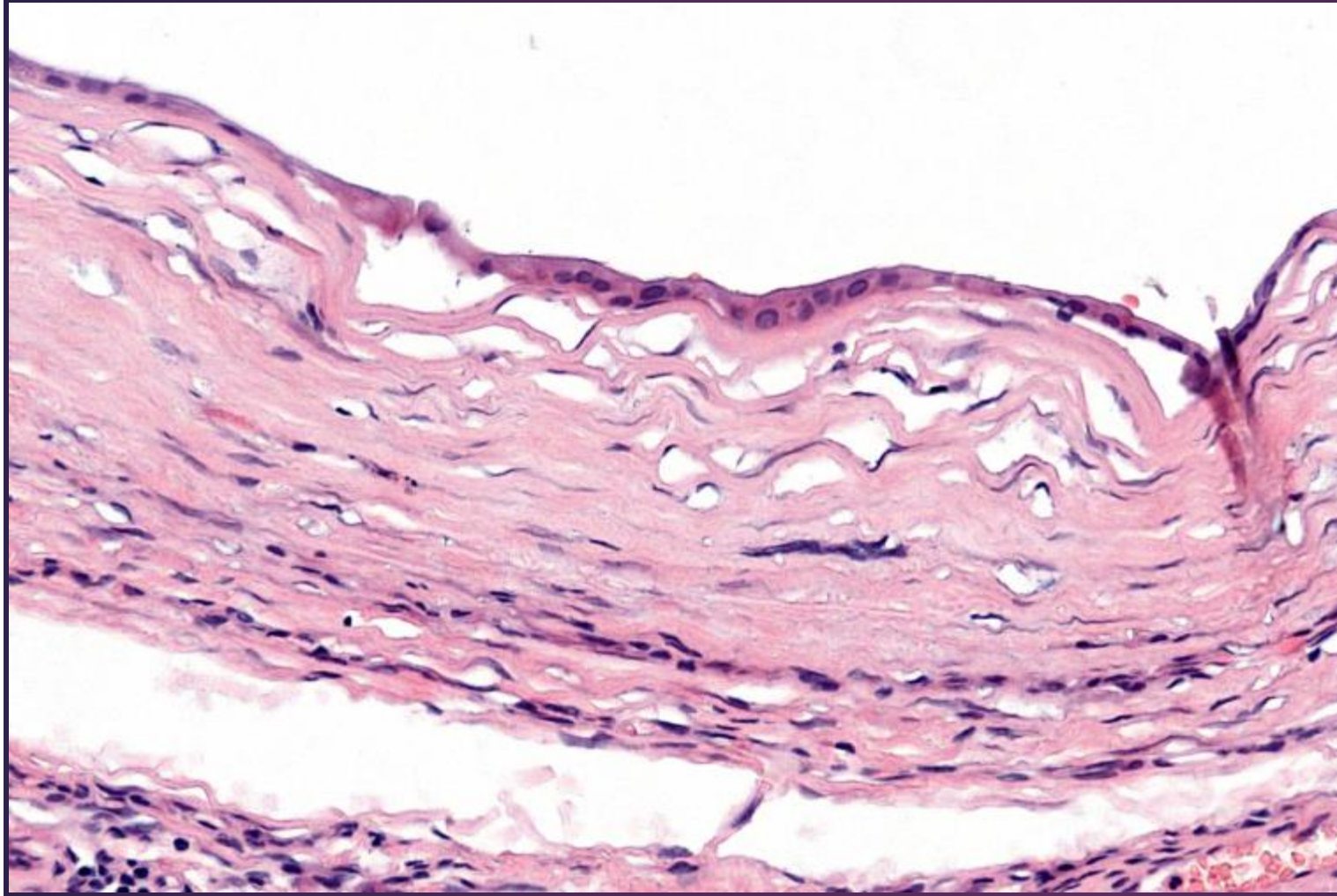
# Prípád SD-IAP č. 667

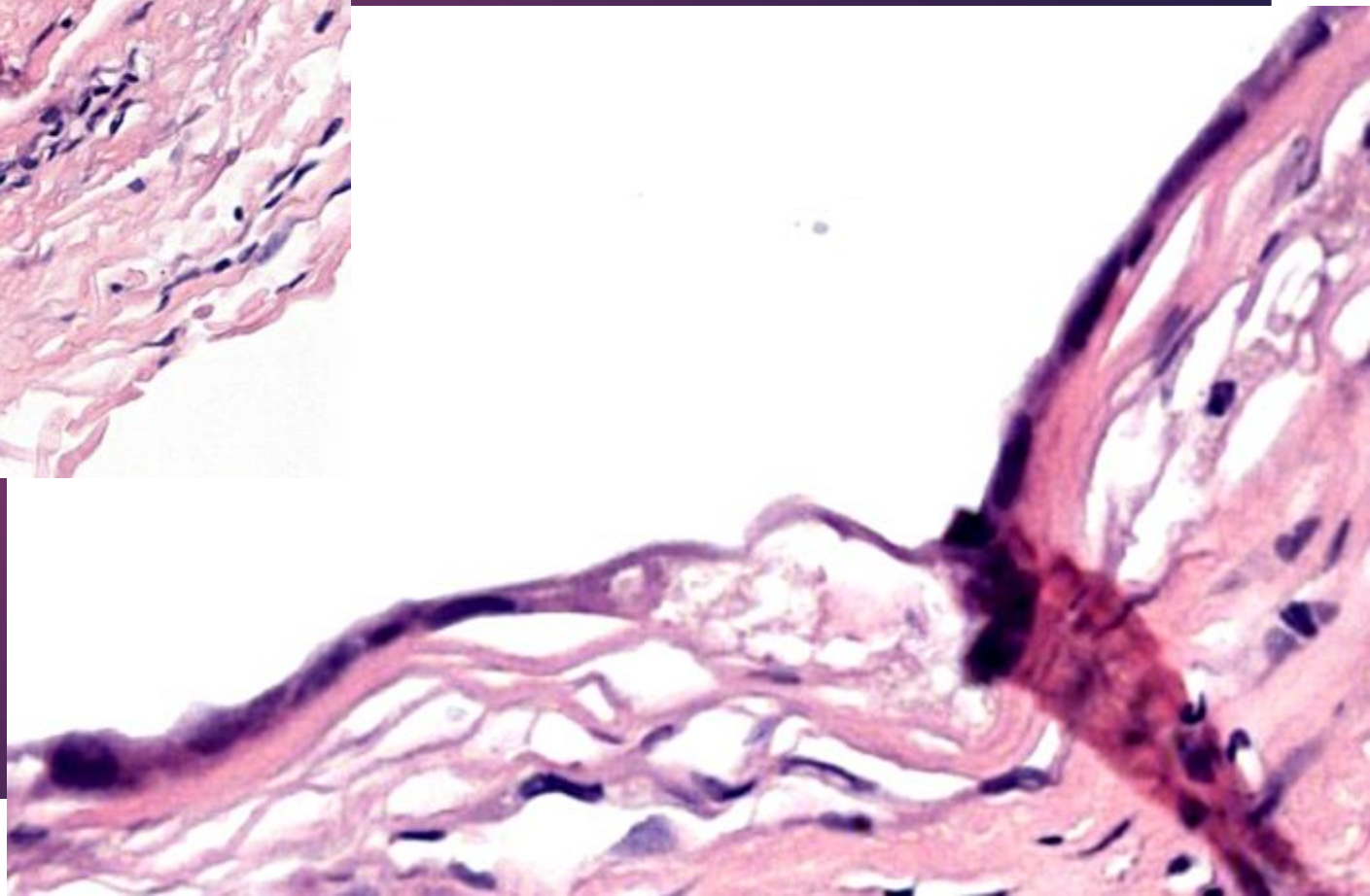
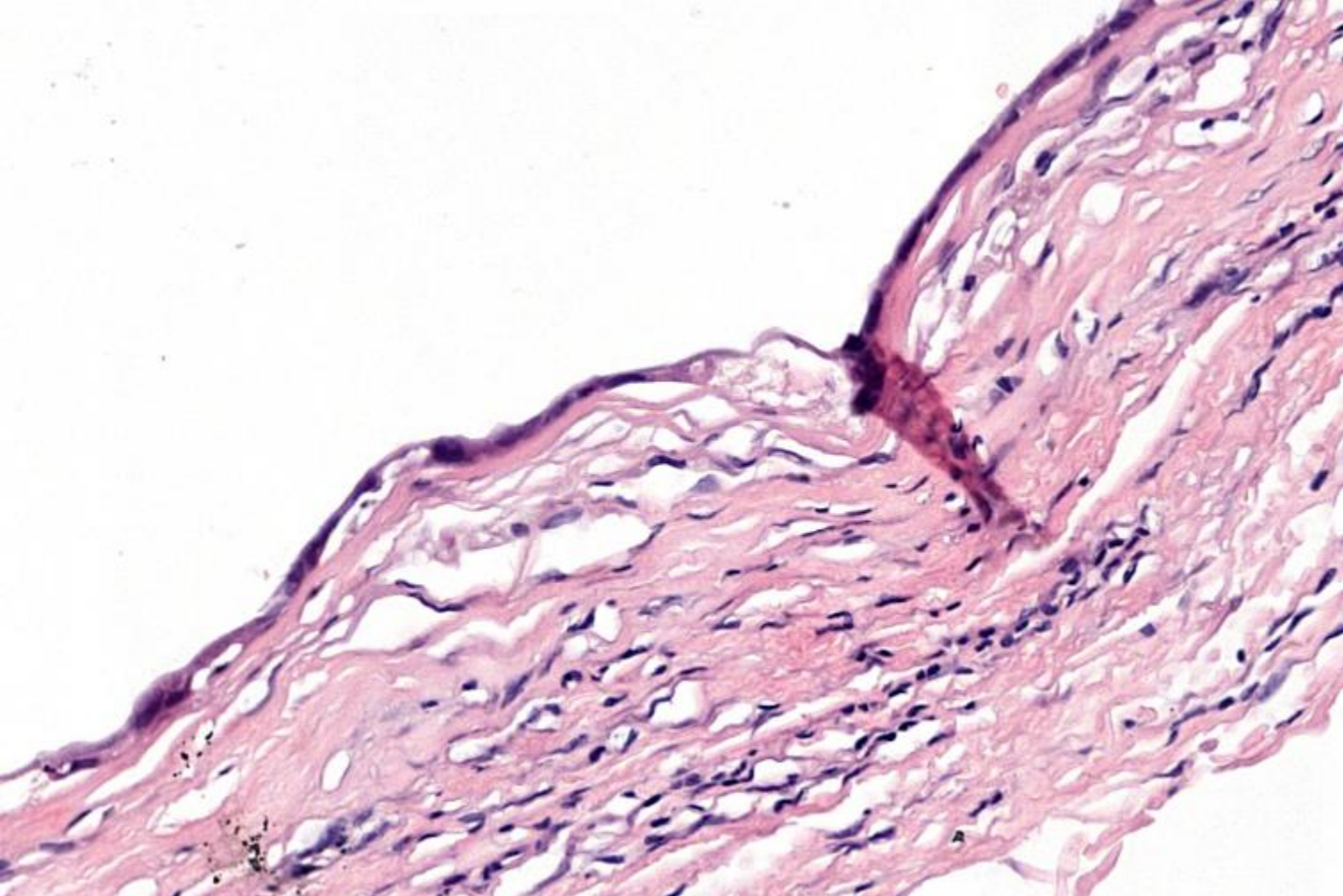
43 ročná žena

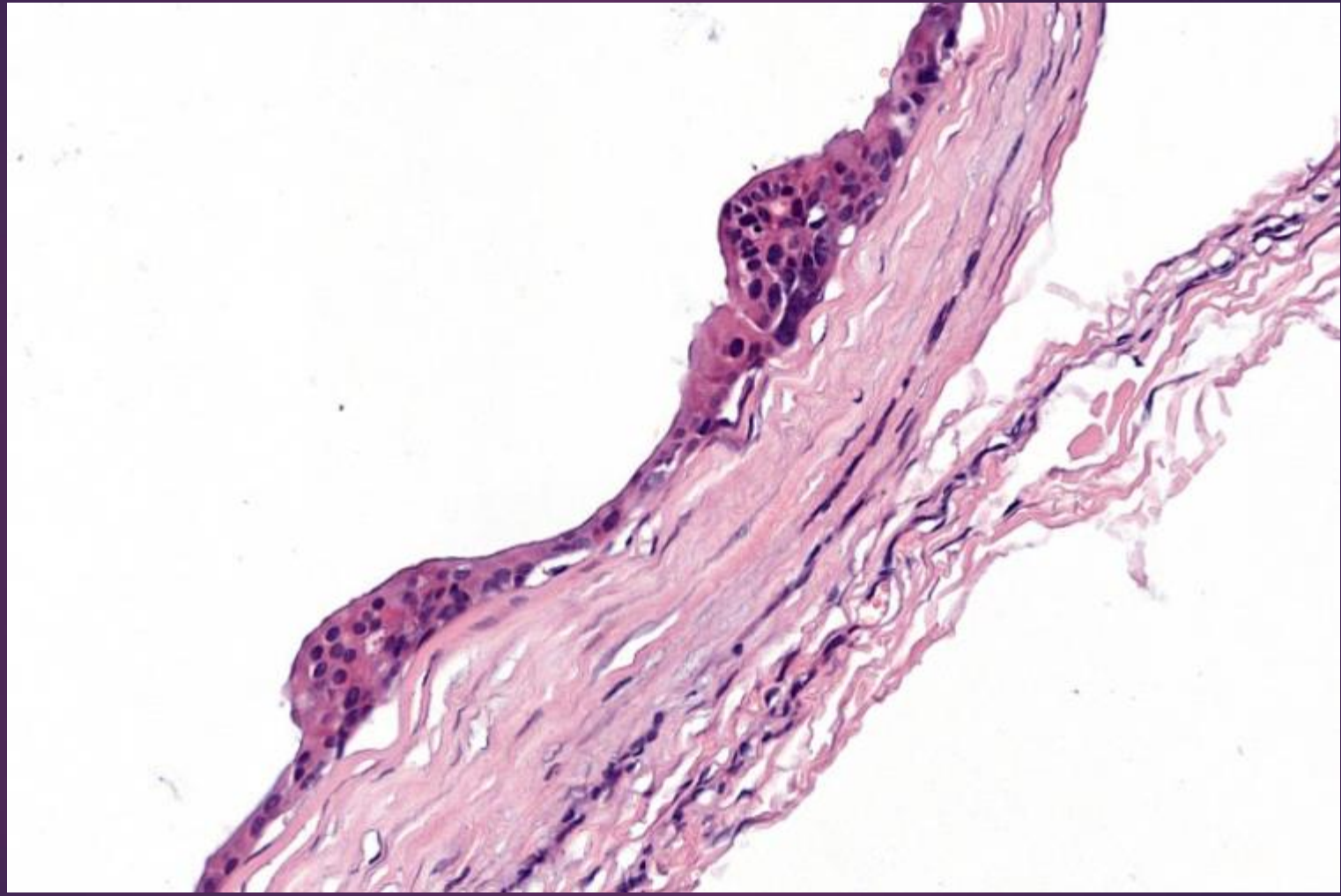
Klin. dg.: susp. atheroma reg. mesogastrii l. sin.

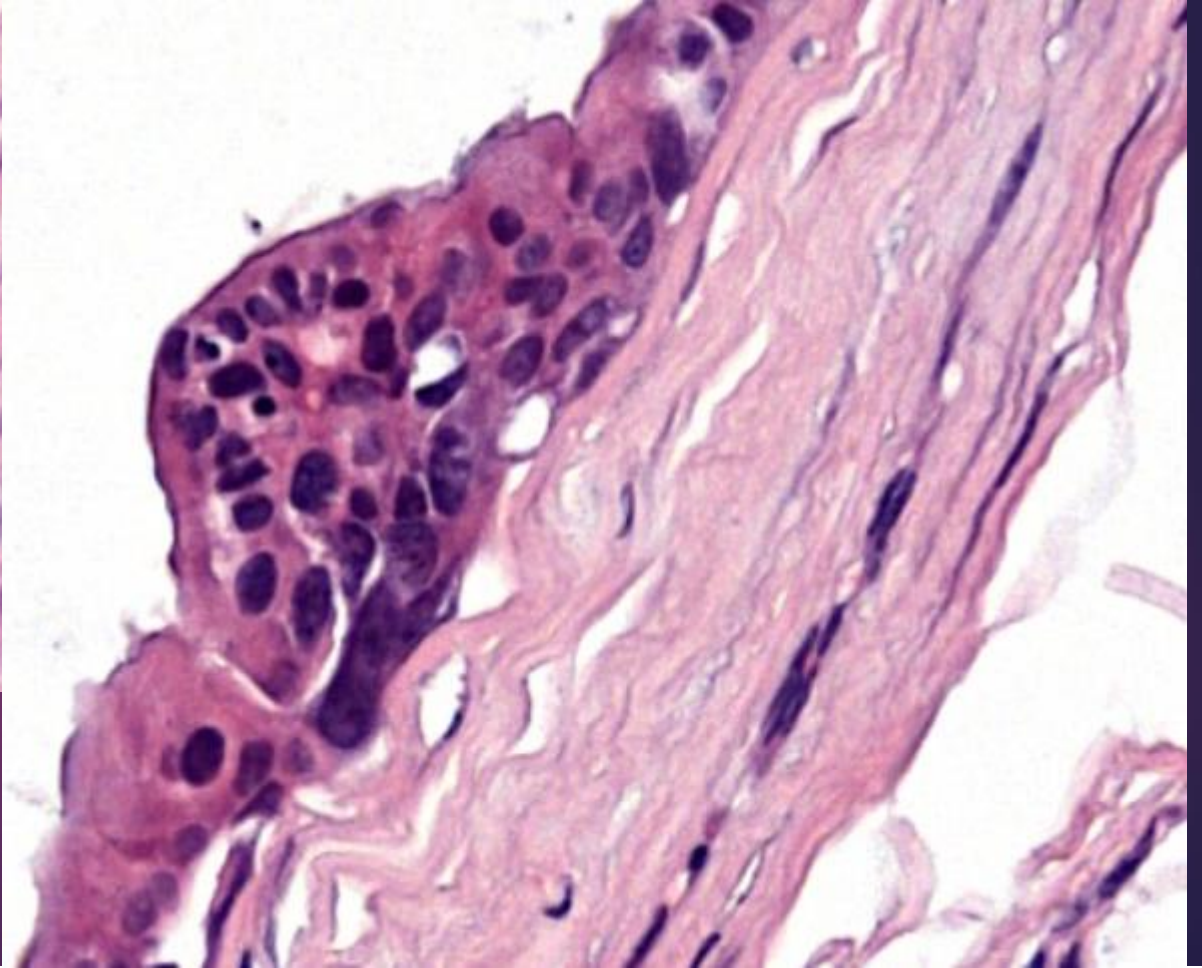
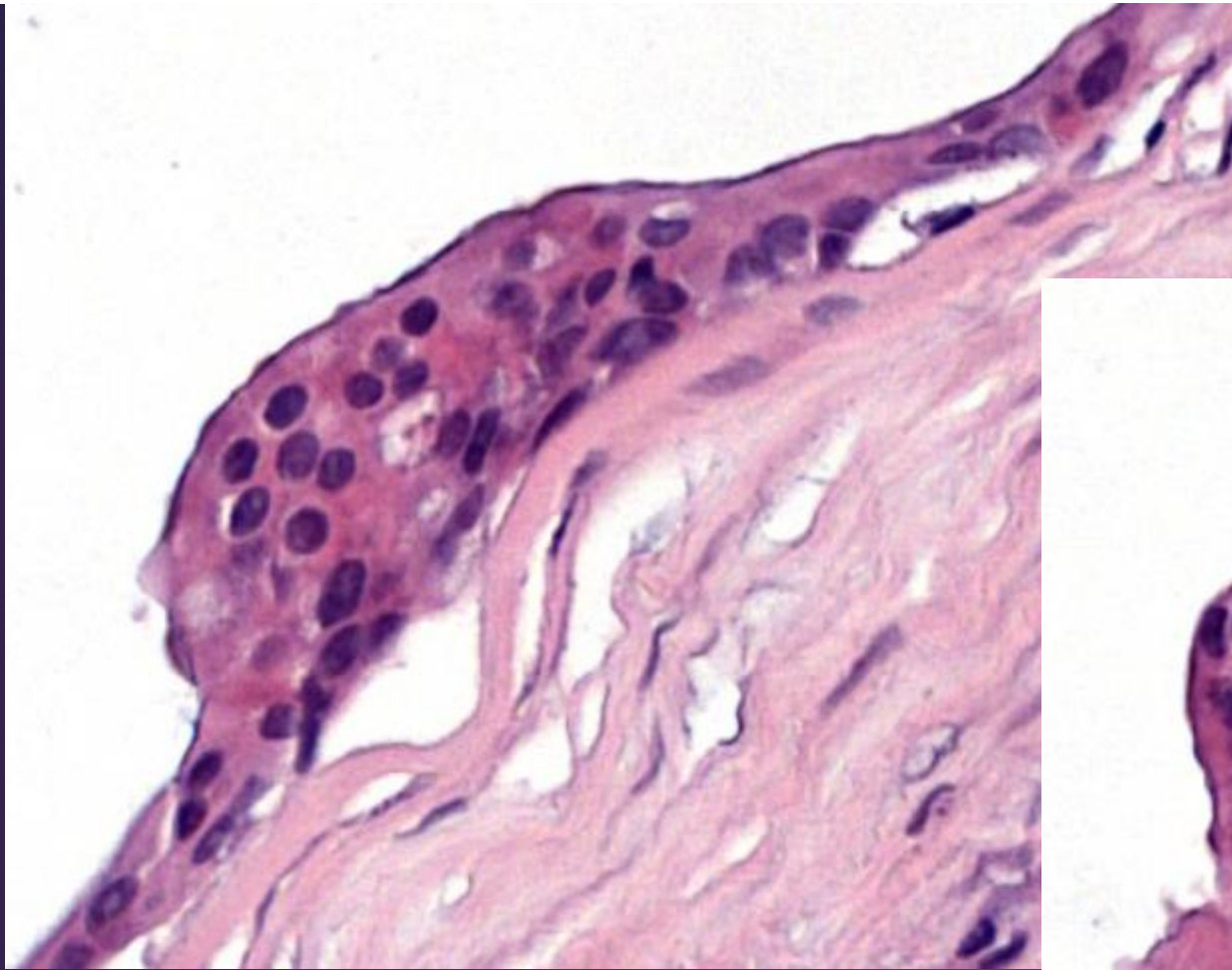
Kožná excízia s podkožím veľkosti 7 cm x 5 cm x 4 cm,  
na reze centrálne dutina max. priemeru 4,5 cm vyplnená  
svetlohnedou želatinóznou hmotou





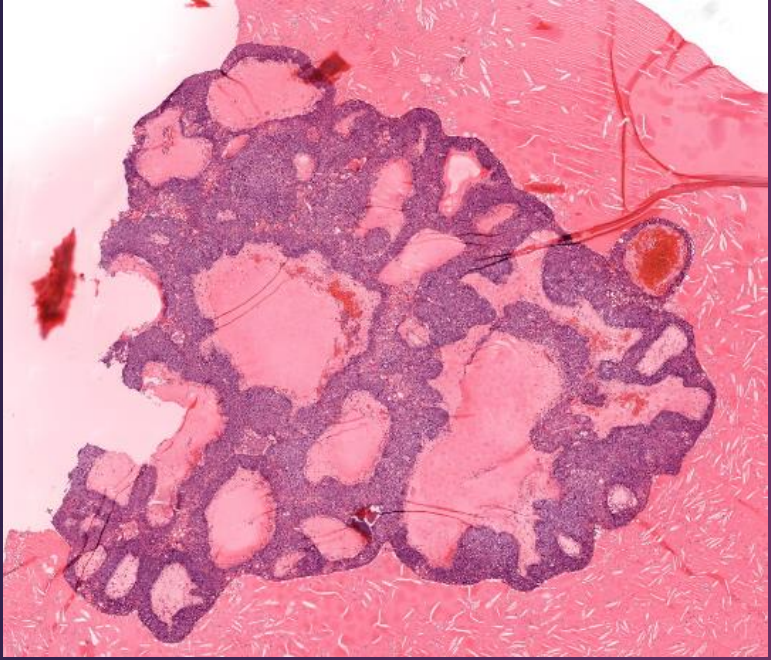


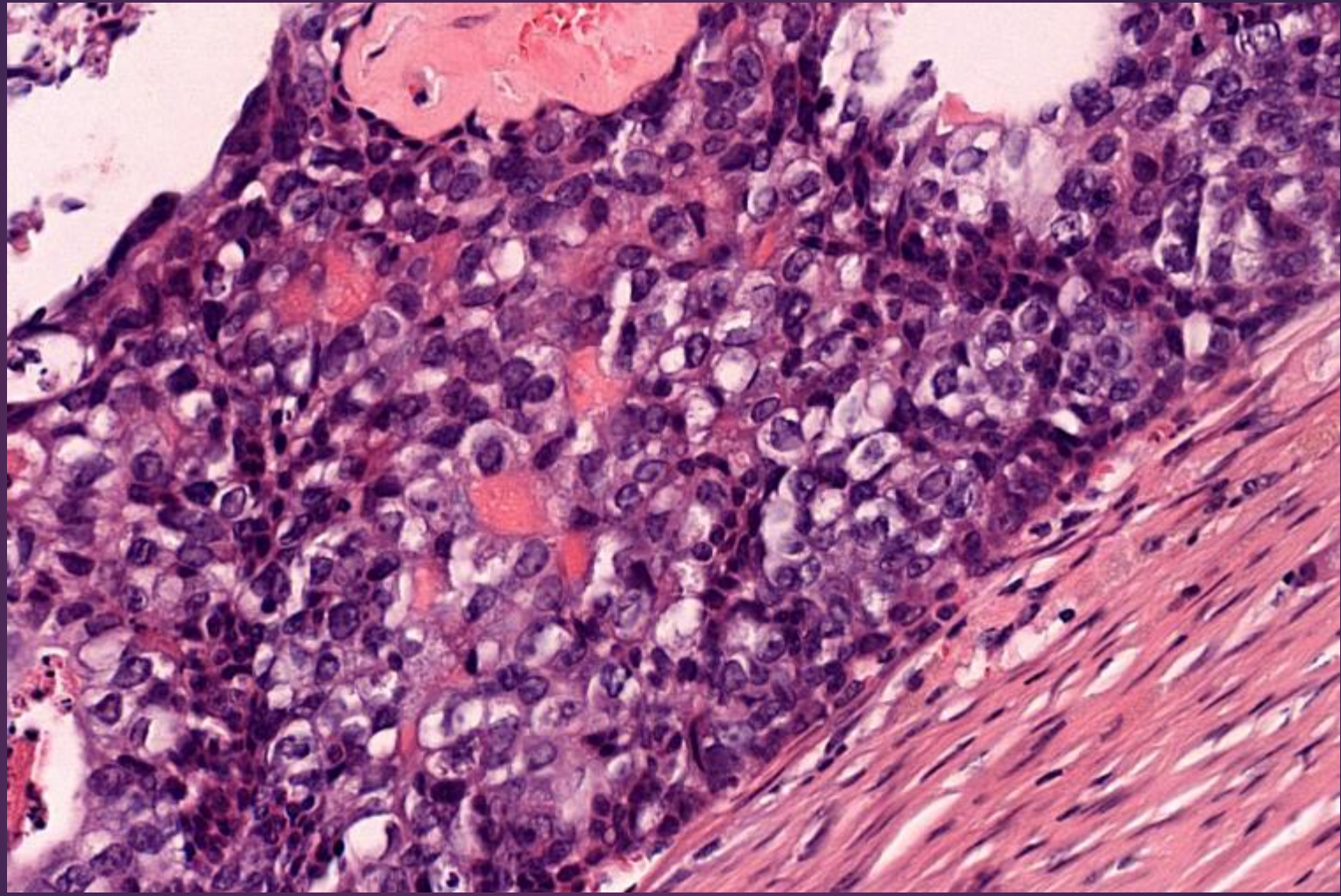


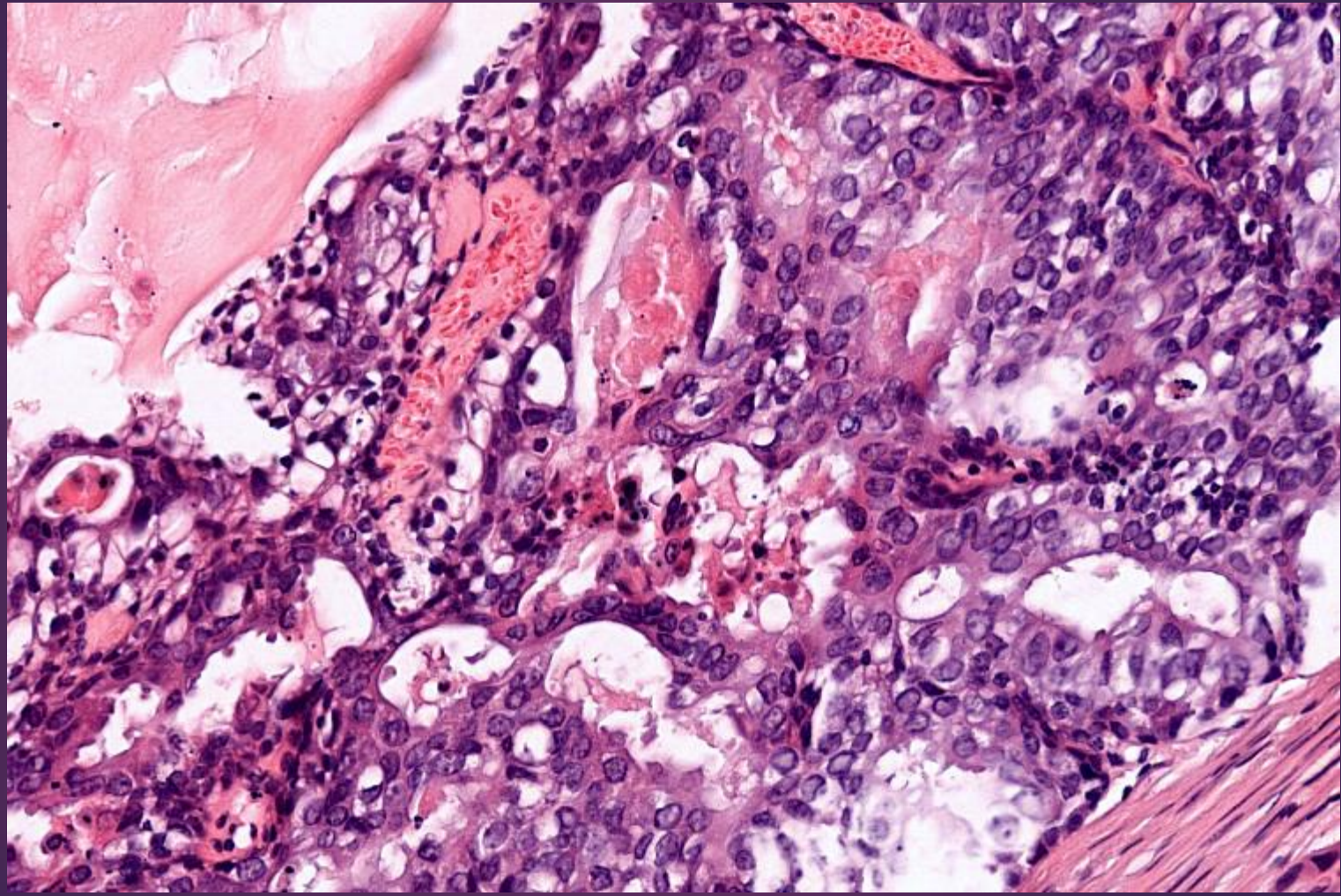


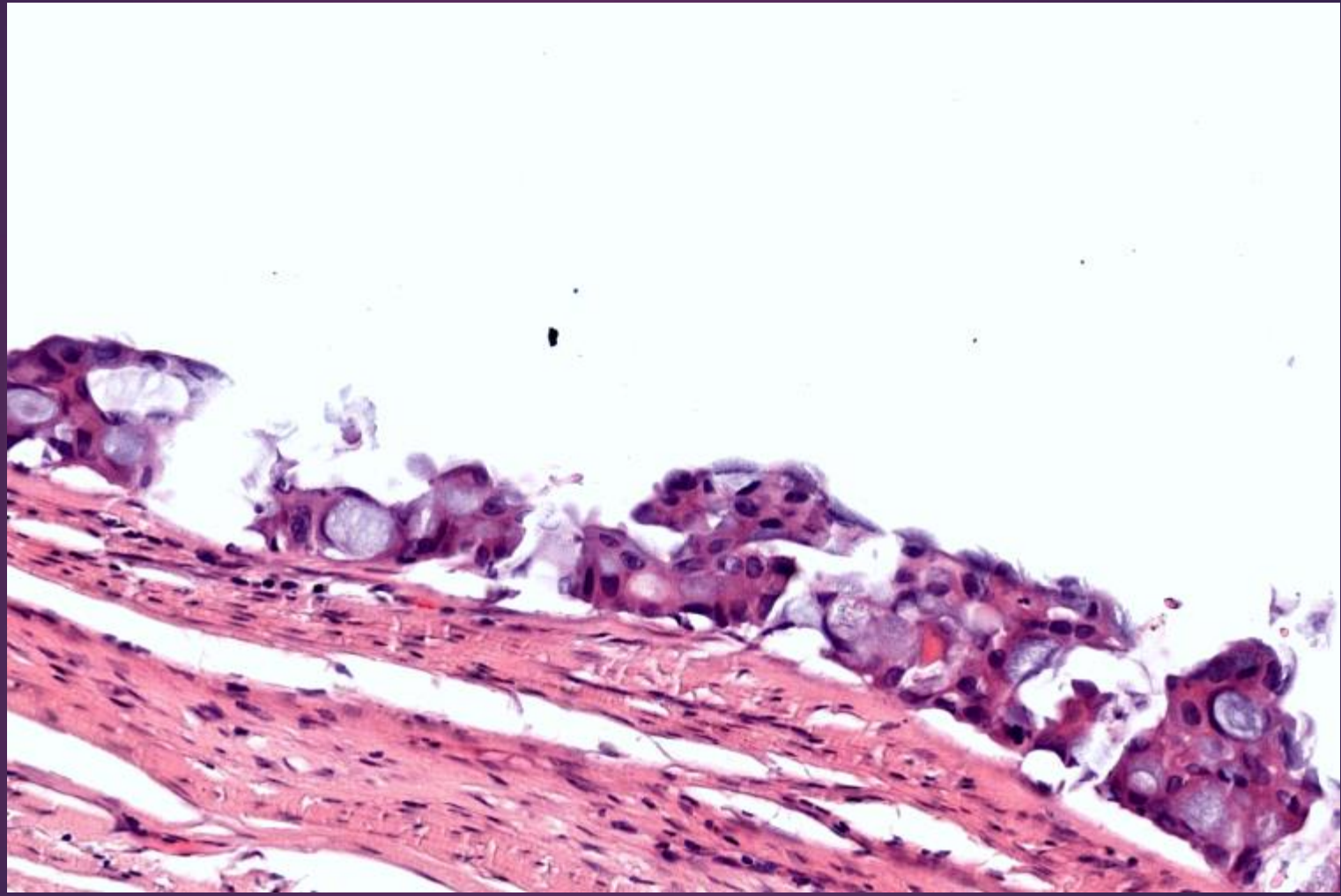
2.

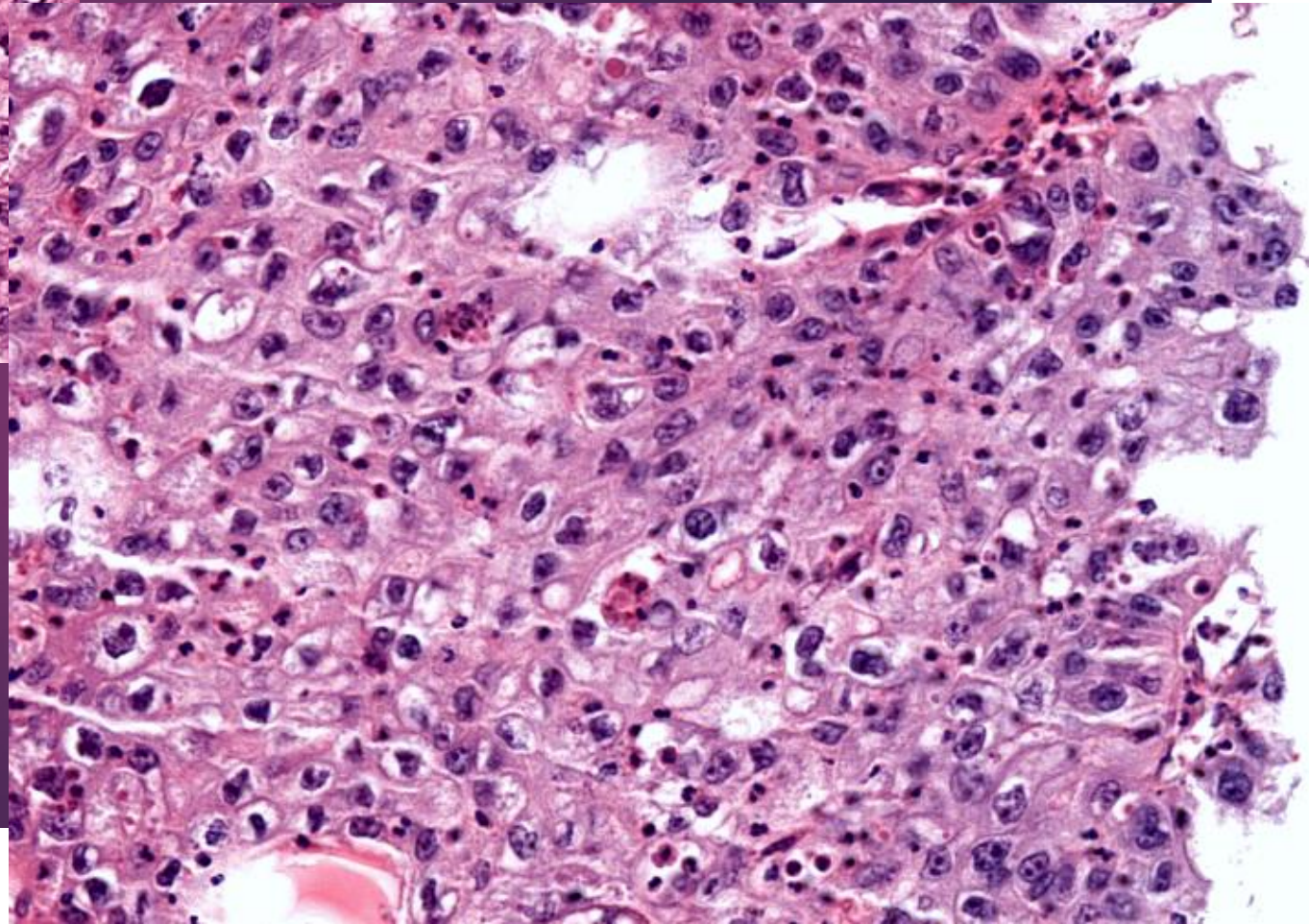
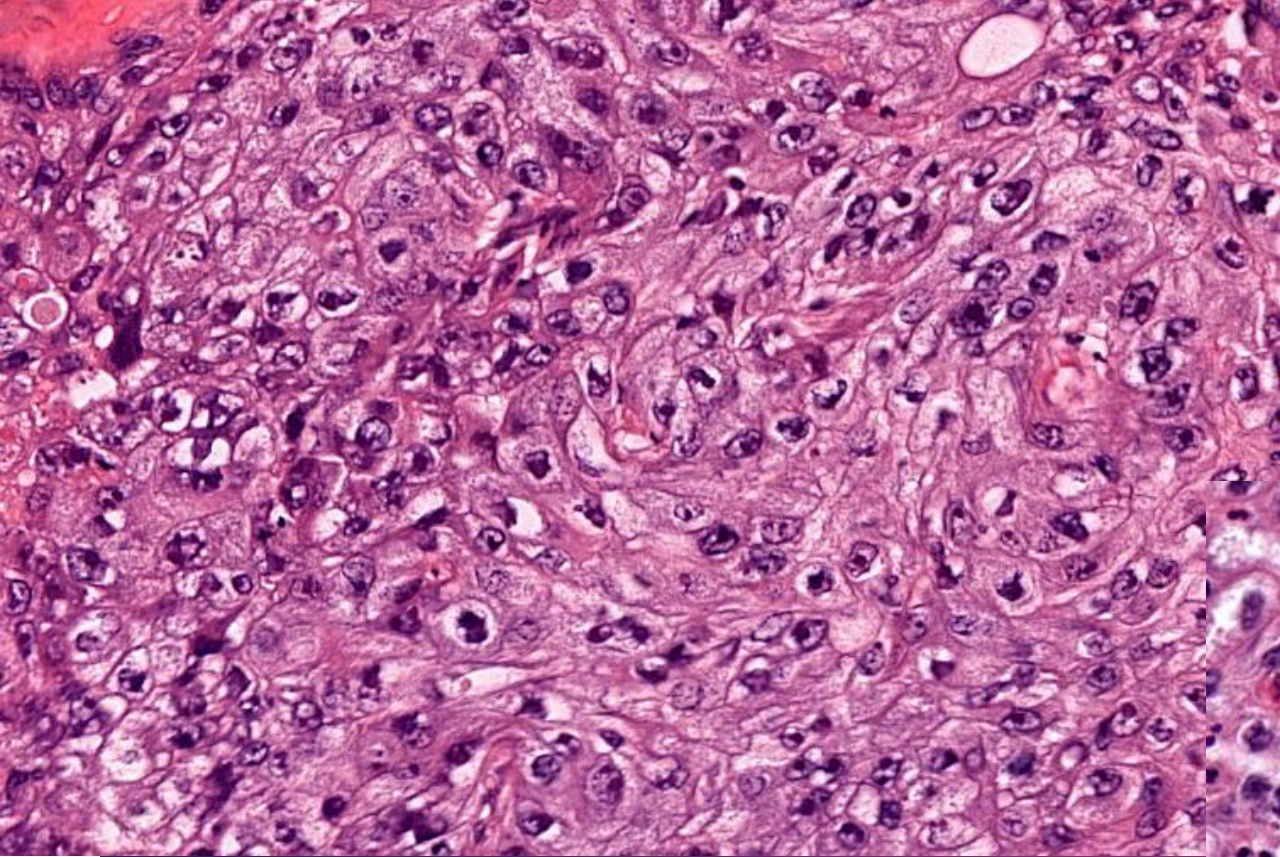


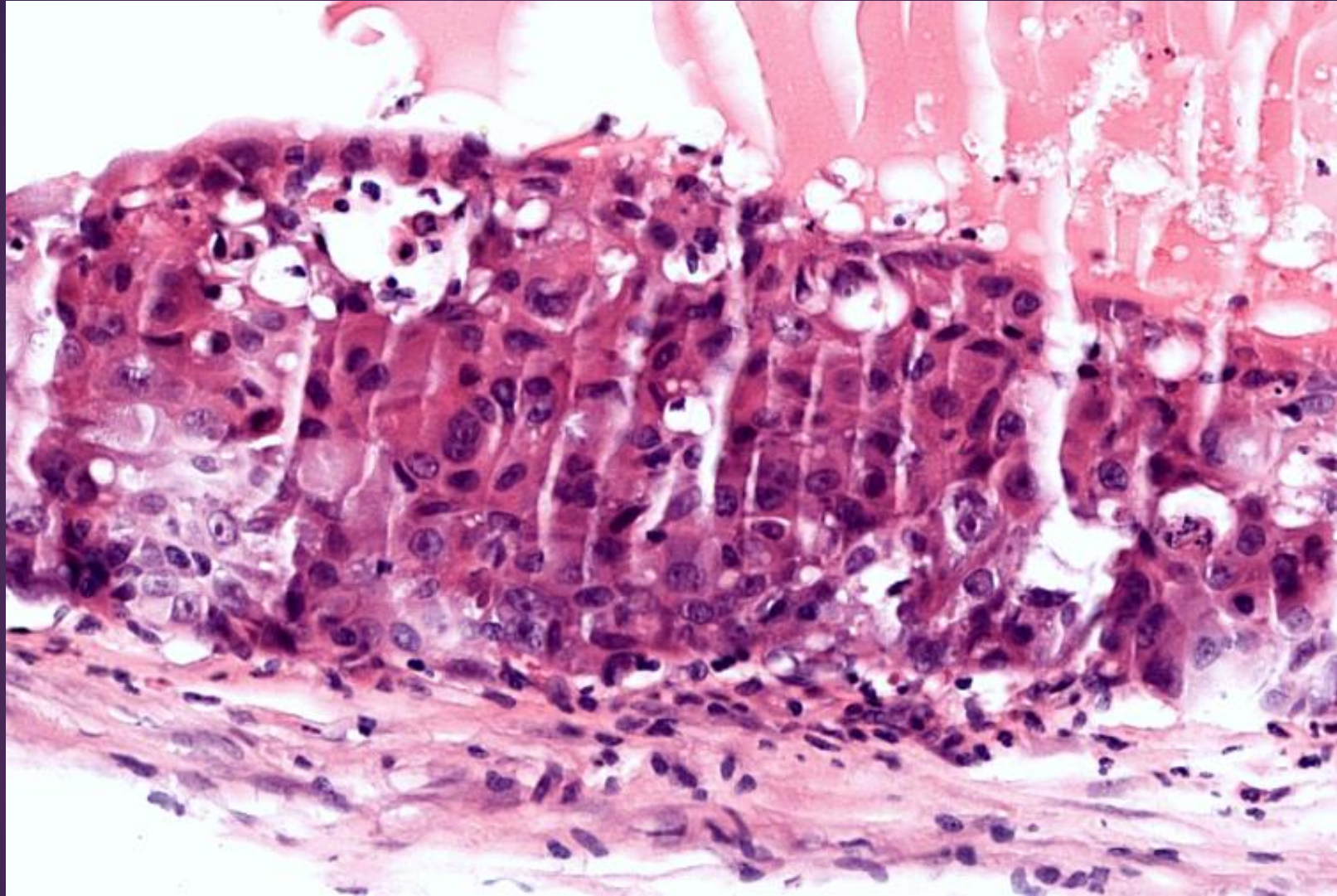


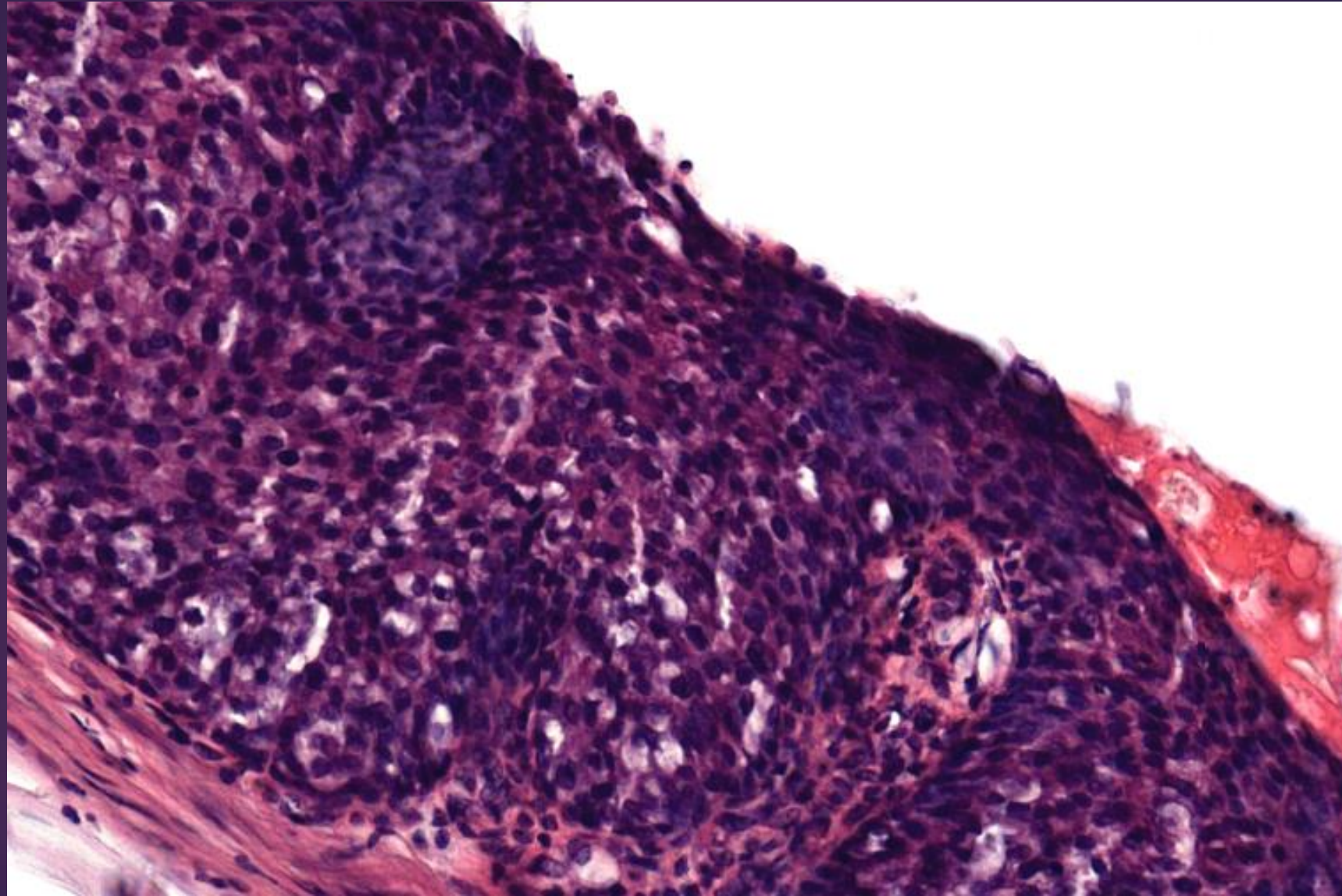


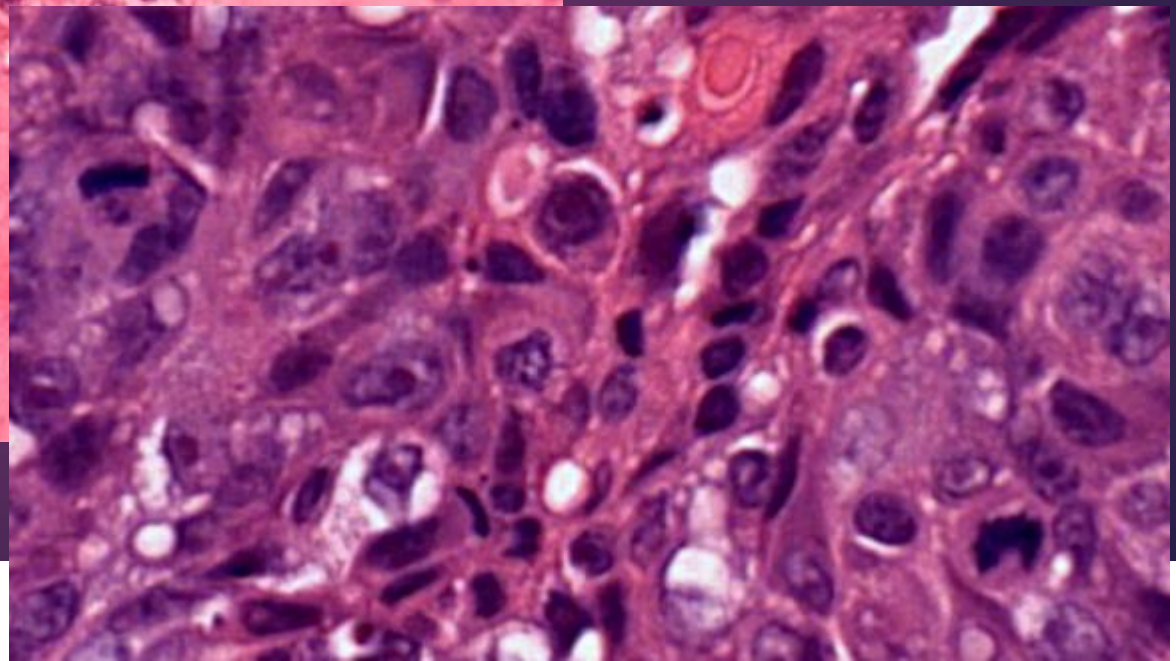
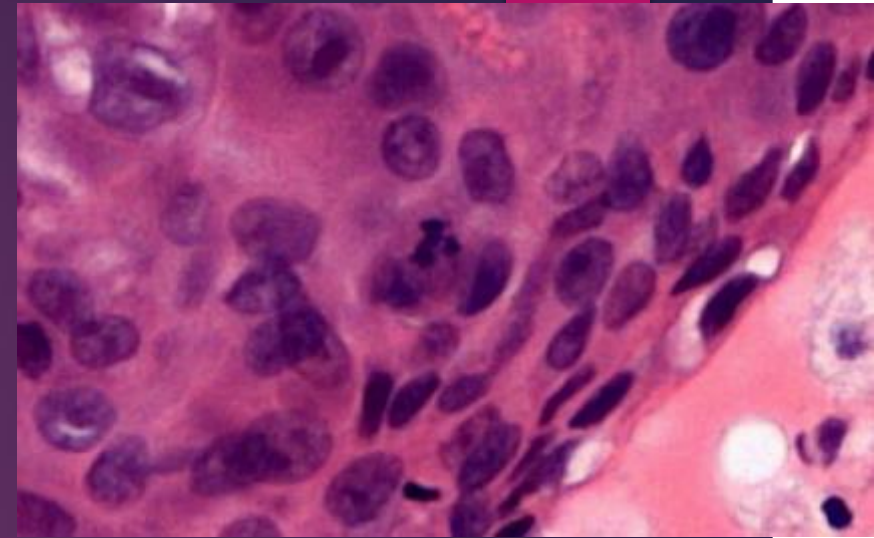
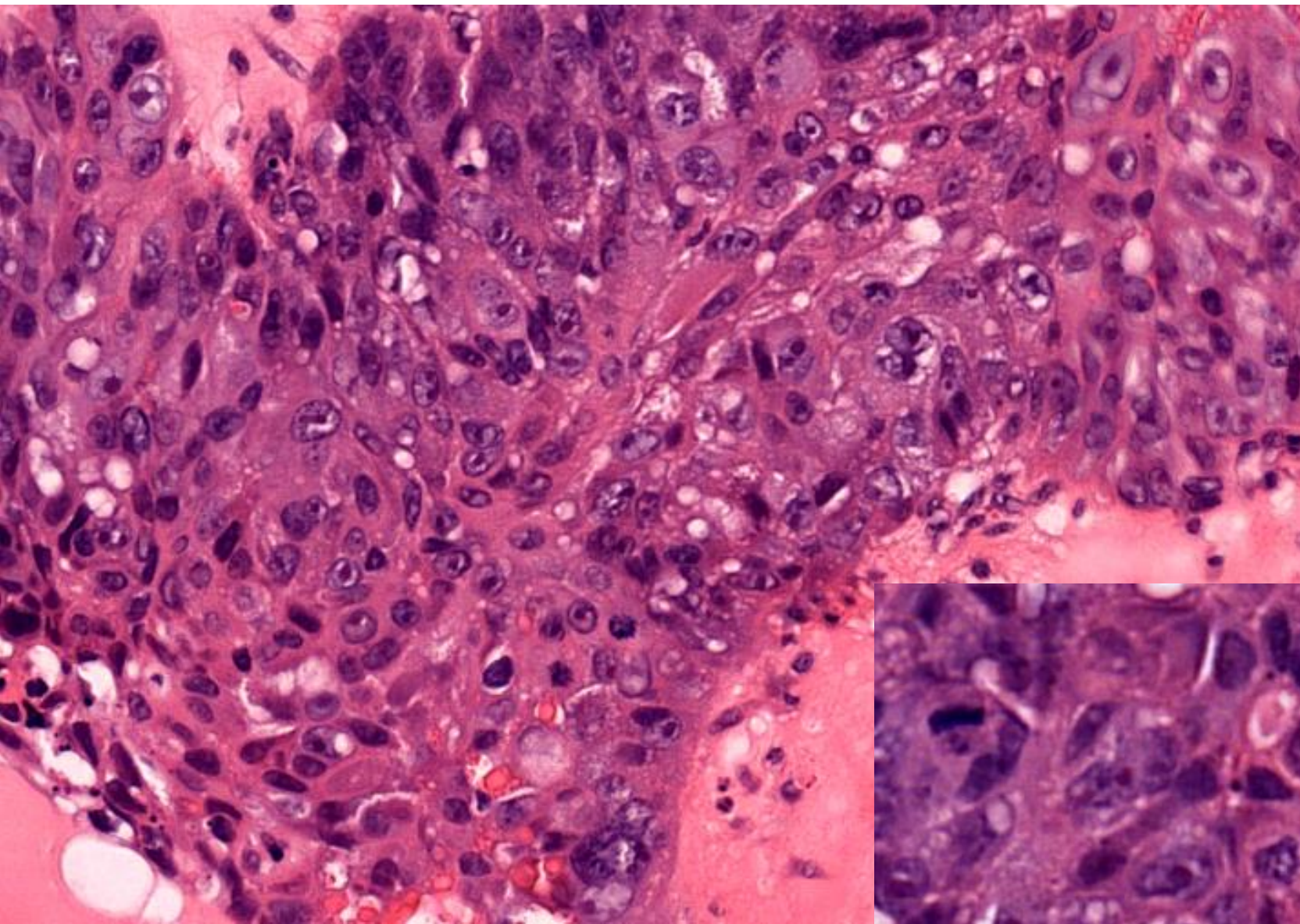










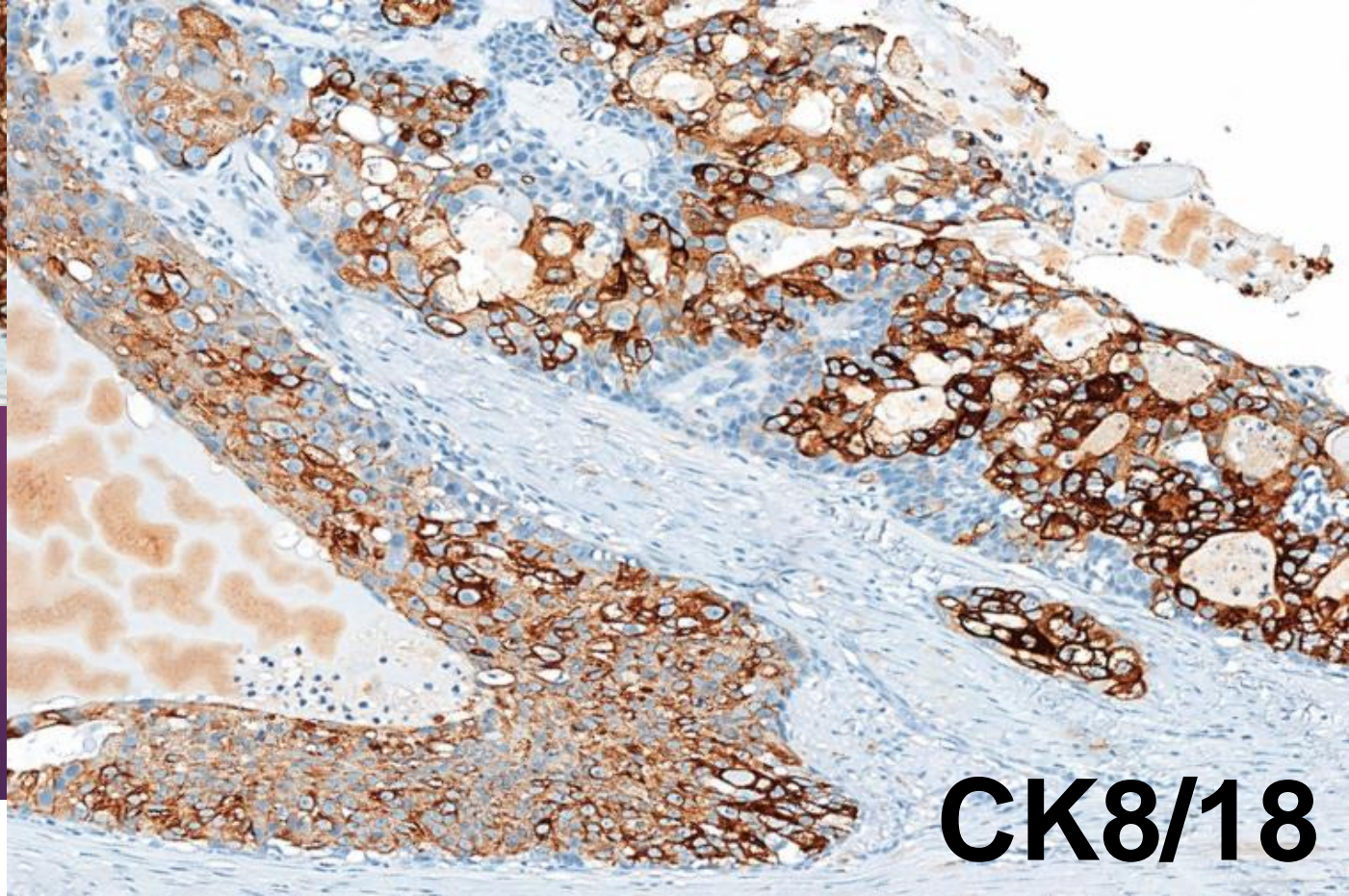




2.

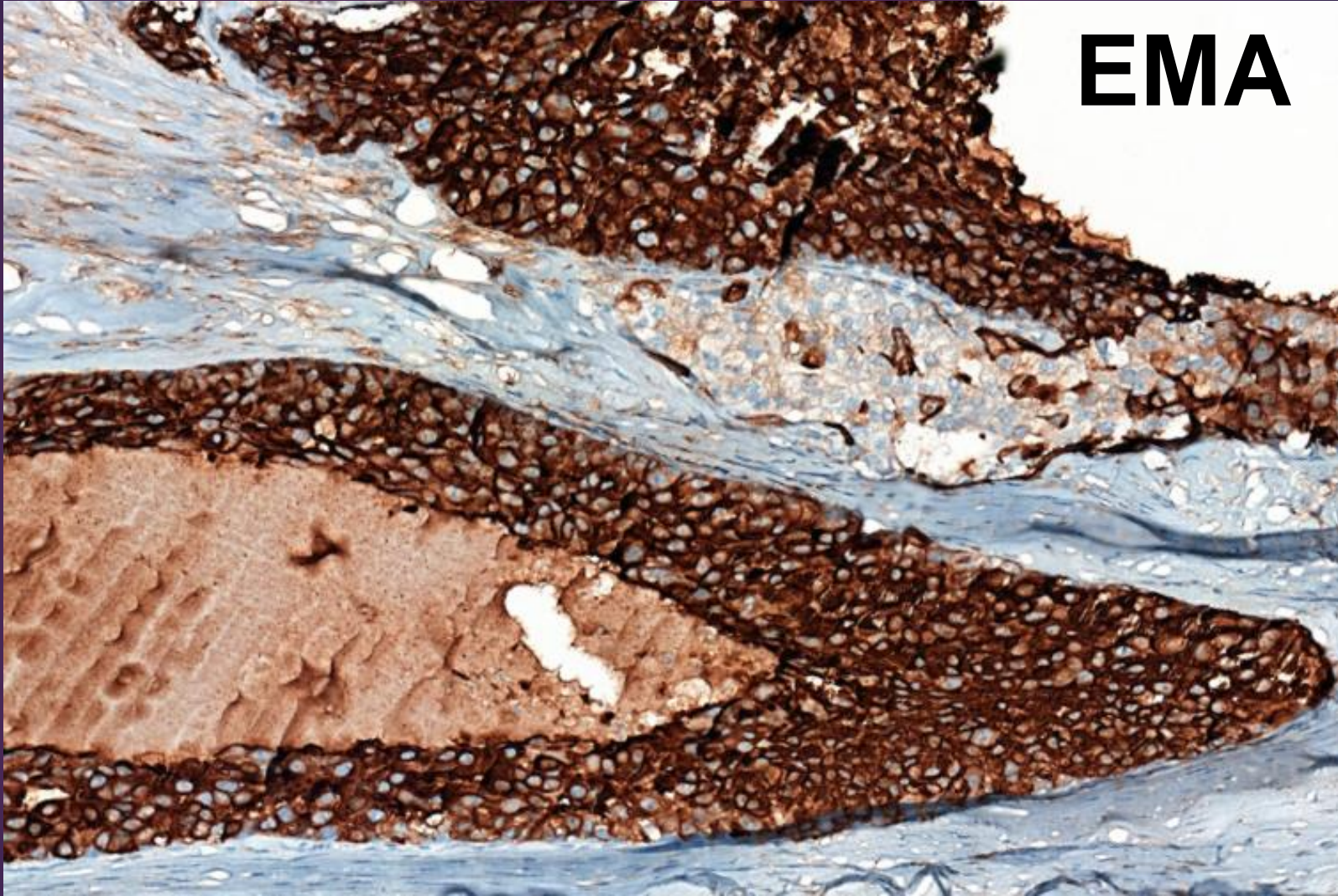


**CK7**

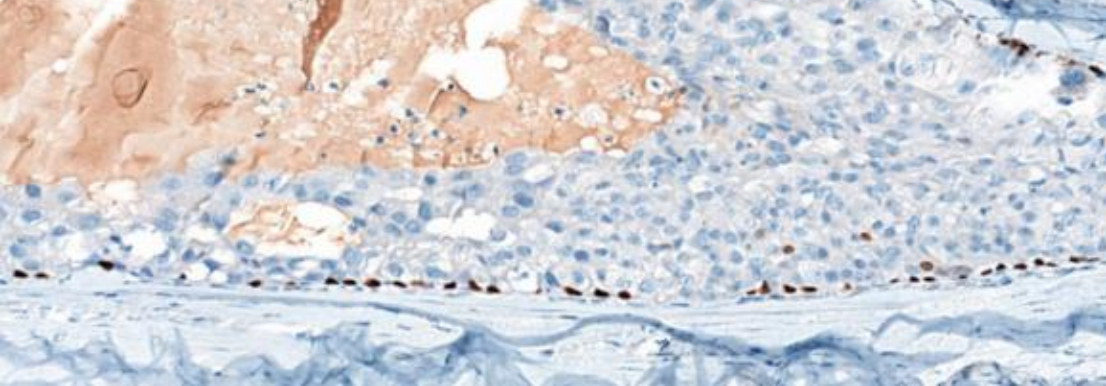
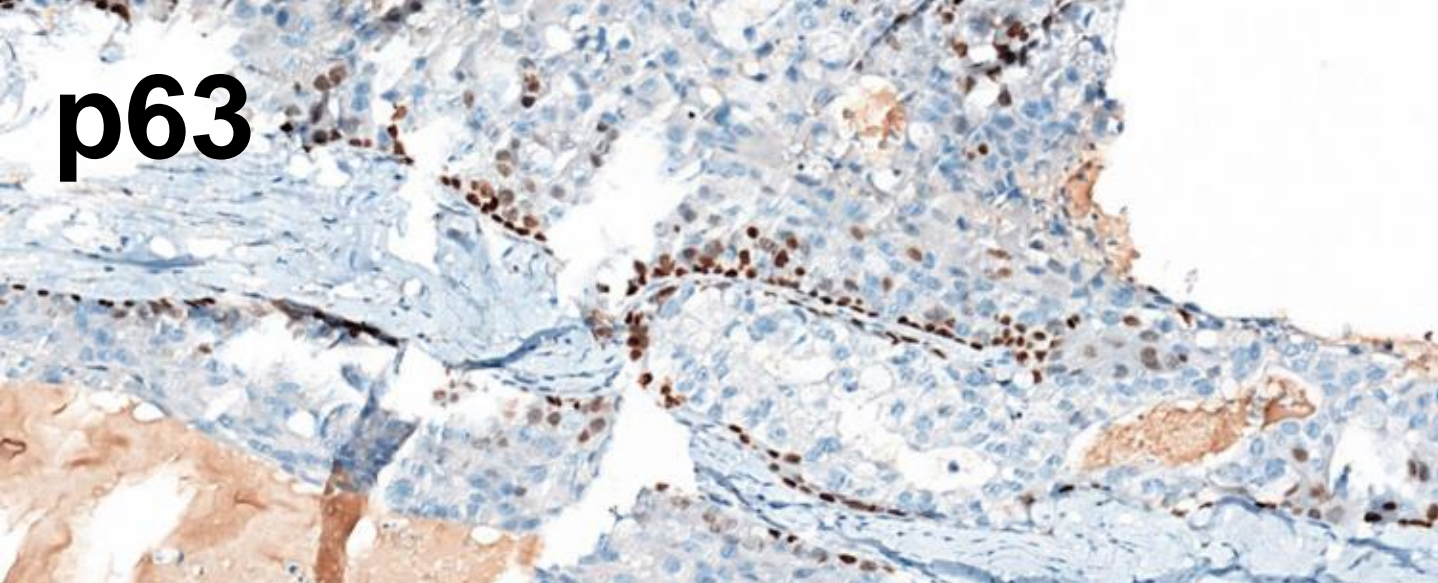


**CK8/18**

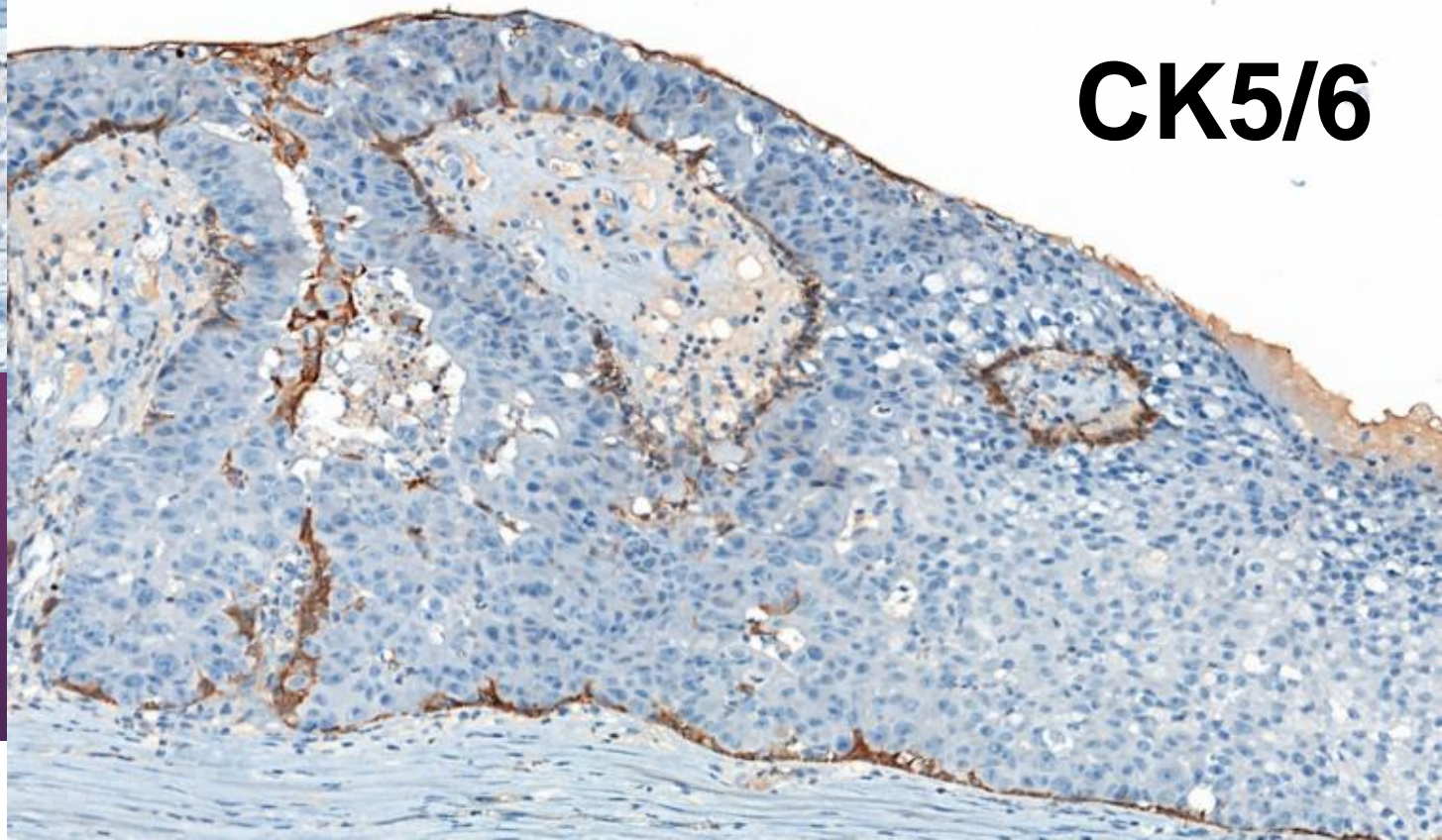
**EMA**



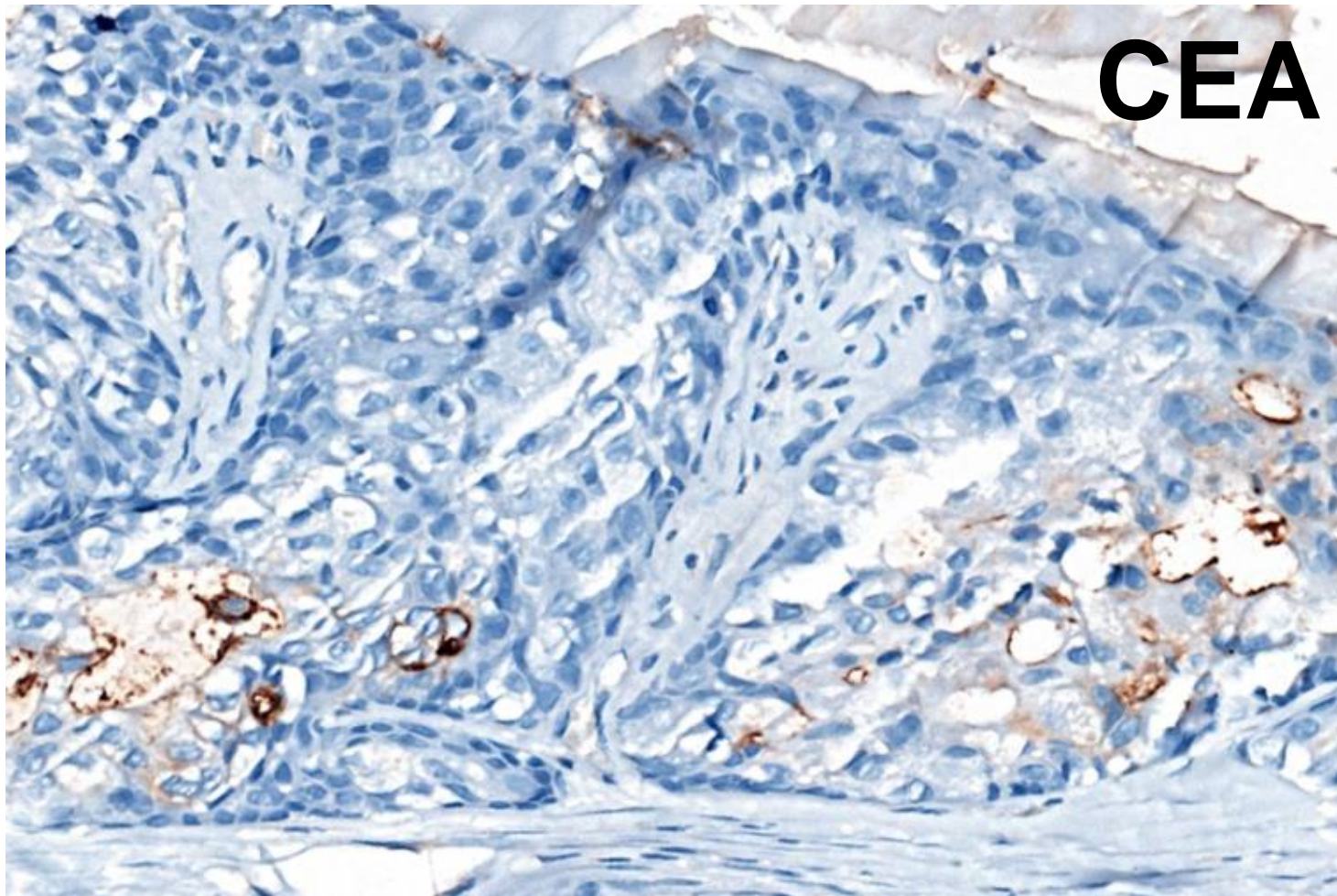
**p63**



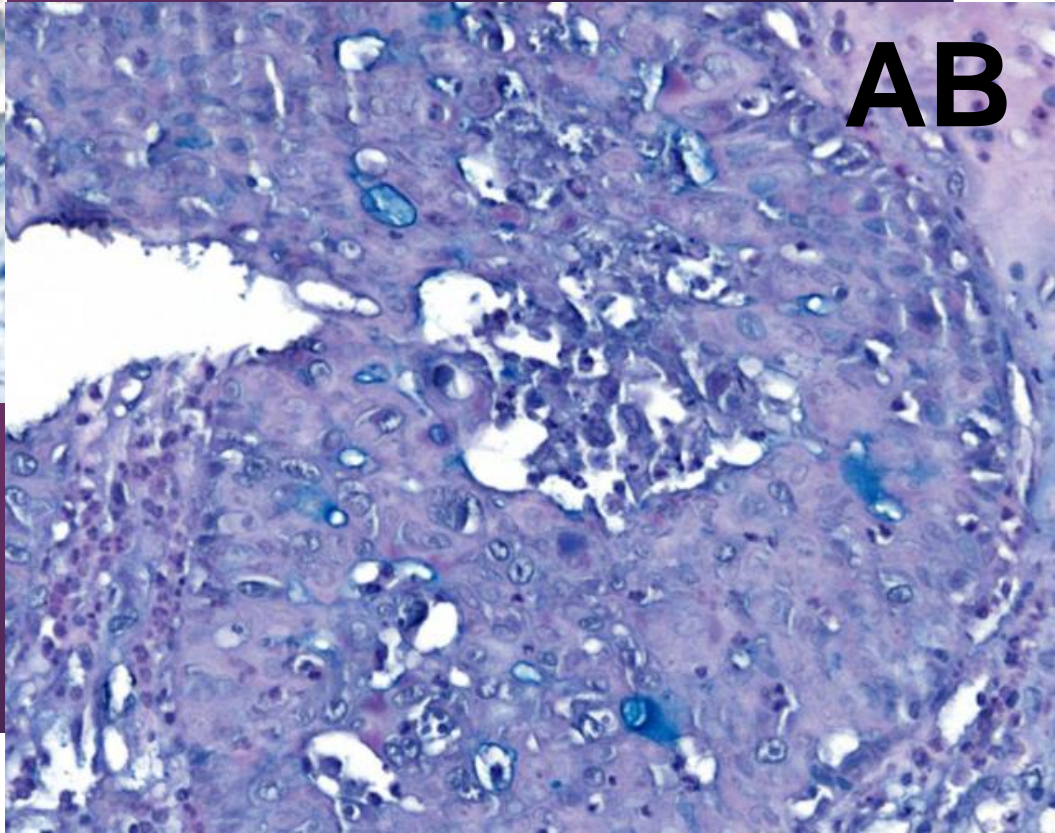
**CK5/6**



**CEA**



**AB**



# IHC

## POZITÍVNE

- CK7, EMA difúzne
- CK8/18 vo väčšine
- p63 a CK5/6 v bazálnych bb. diskontinuálne
- CEA fok.luminálne
- PR slabo pozit.

## NEGATÍVNE

- CK20
- WT1
- ER
- p16
- SATB2
- S100, SMA, GFAP, dezmin
- CD117



WHICH  
WAY  
NEXT

# Bližšie nešpecifikovateľný adenokarcinóm

Adnexálny karcinóm – hidradenokarcinóm

(prof.MUDr.Dmitry Kazakov,PhD.)



**Detekcia zlomu génu MAML2 (FISH) – pozitívna**

Detekcia t(11;19) (CRTC1/MAML2) (RT-PCR) - negatívna

Detekcia t(11;15) (CRTC3/MAML2) (RT-PCR) - negatívna

Detekcia zlomu génu ETV6 (FISH) - negatívna

Detekcia translokácie t(12;15) (ETV6/NTRK3) (RT-PCR) - negatívna

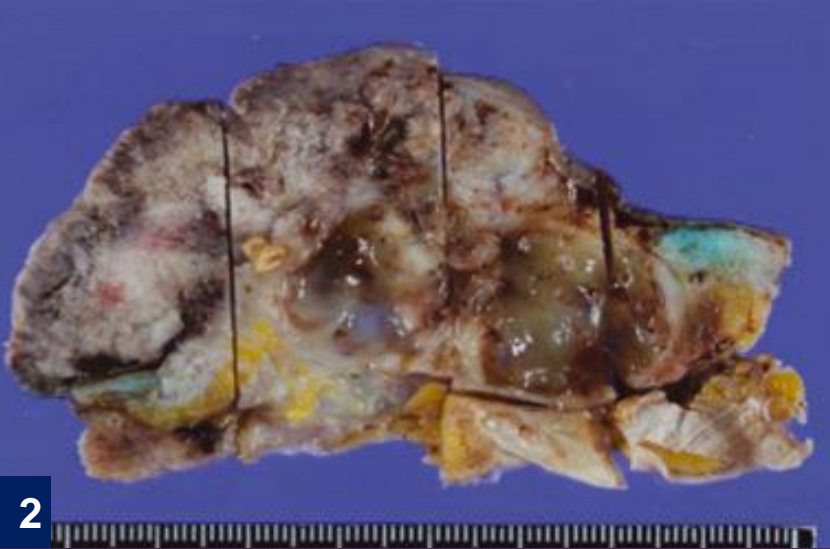
**Zlom génu MAML2 (FISH), i keď bez dokázaného fúzneho partnera (PCR), podporuje dg. hidradenokarcinómu.**

# Hidradenokarcinóm

- malígny tumor potných žliaz
- zriedkavý výskyt (2,6 / 1 mil. SEER data)
- 5.-7. dec., M≥Ž
- oblasť hlavy a krku, končatiny
- de novo / malígnou transformáciou hidradenómu
- prognóza zlá
- LG - lokálne rekurencie; HG - mts LU aj vzdialene



1



2



3

1 Yoshimi K Translocation of the MAML2 gene in hidradenocarcinoma. J Dermatol 2017

2 Honda Y Hidradenocarcinoma showing prominent mucinous and squamous differentiation and associated pagetoid cells. J Cutan Pathol. 2013

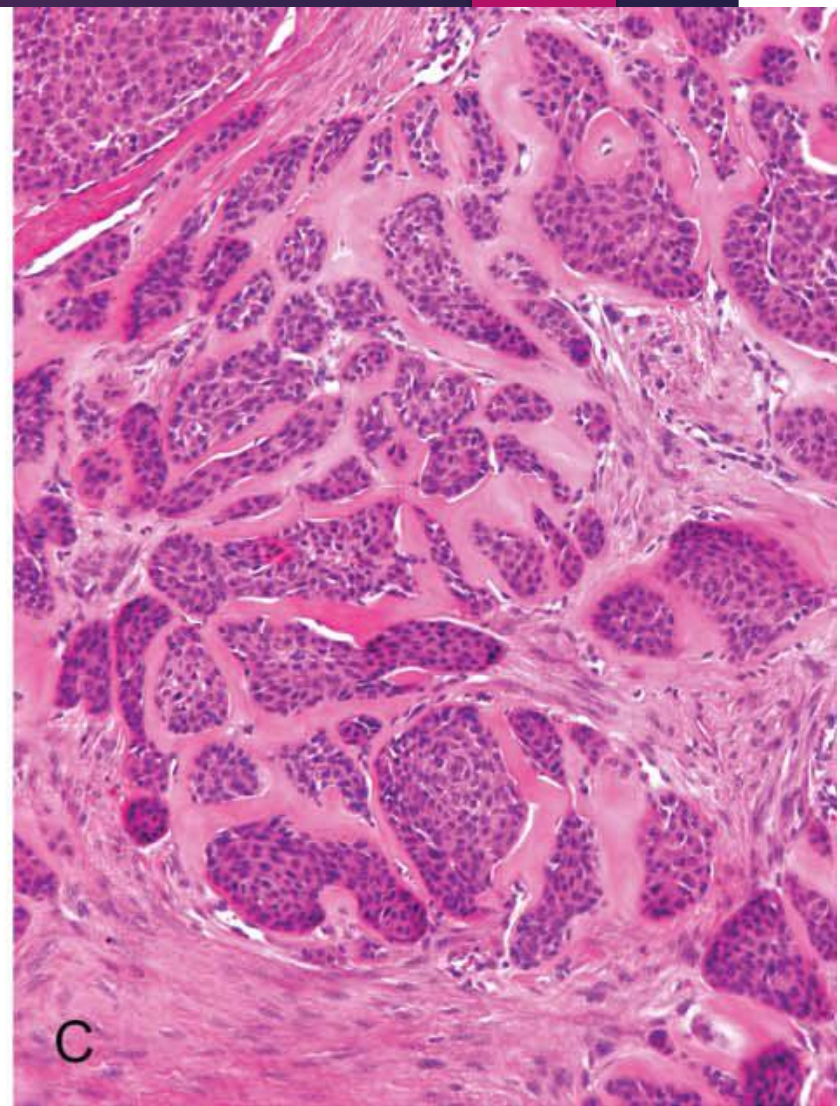
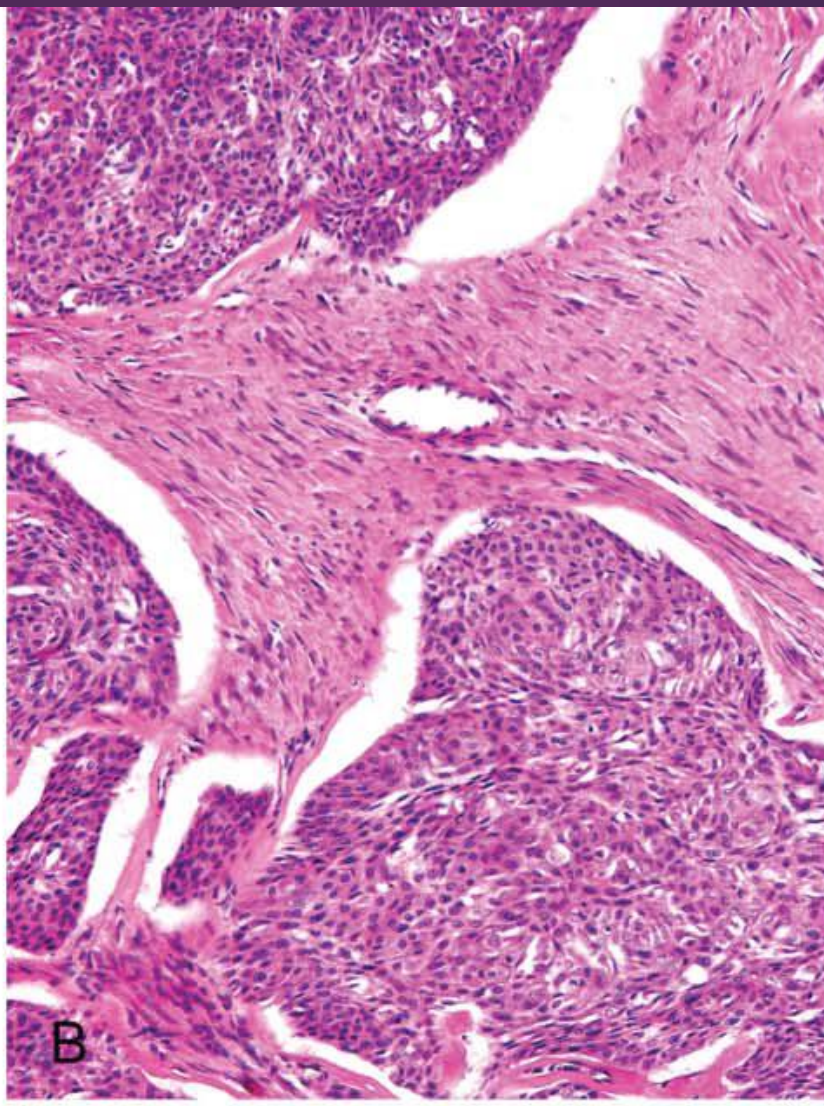
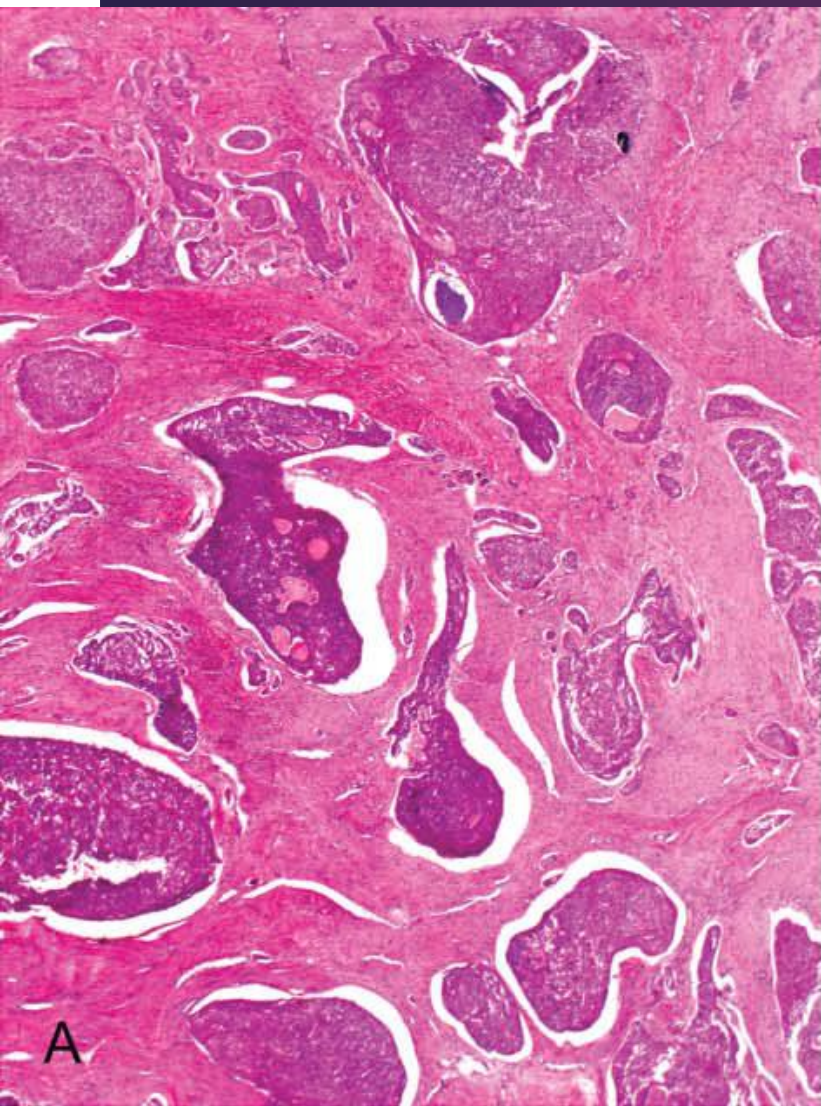
3 Cohen M Apocrine Hidradenocarcinoma of the Scalp: A Classification Conundrum. Head and Neck Pathol 2009

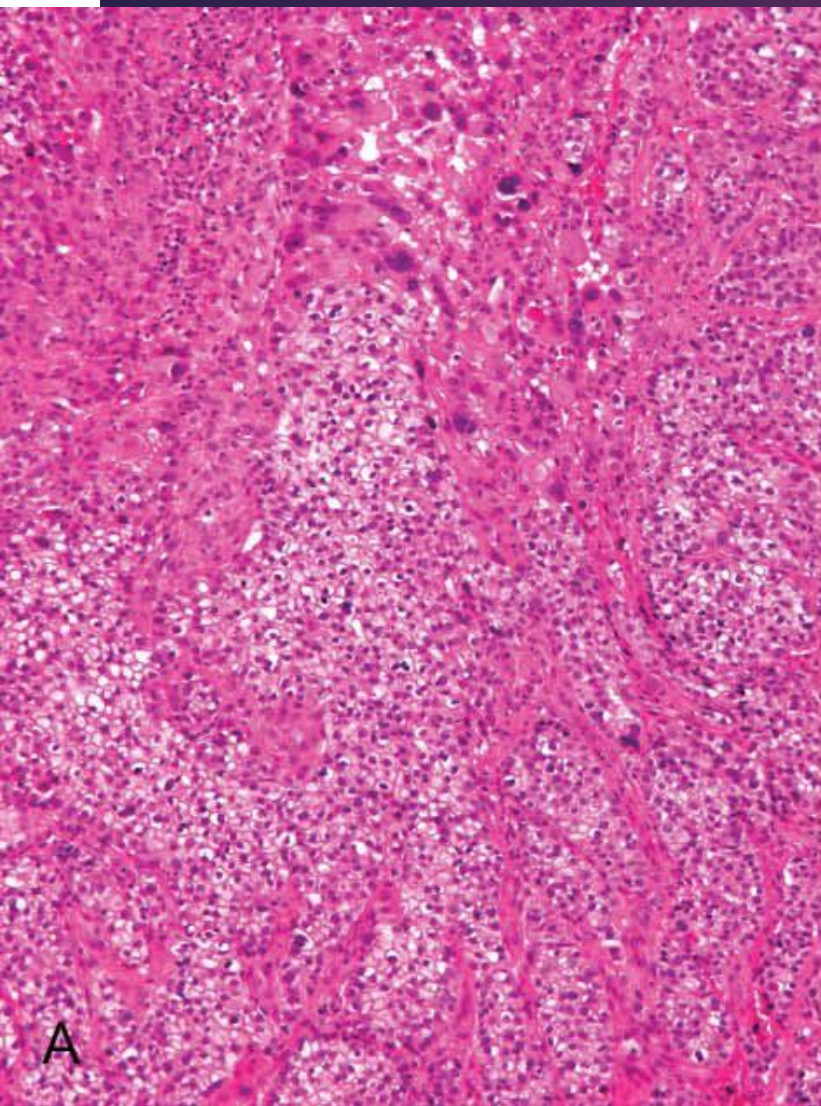
# Hidradenokarcinóm

Mikroskopicky – heterogenita

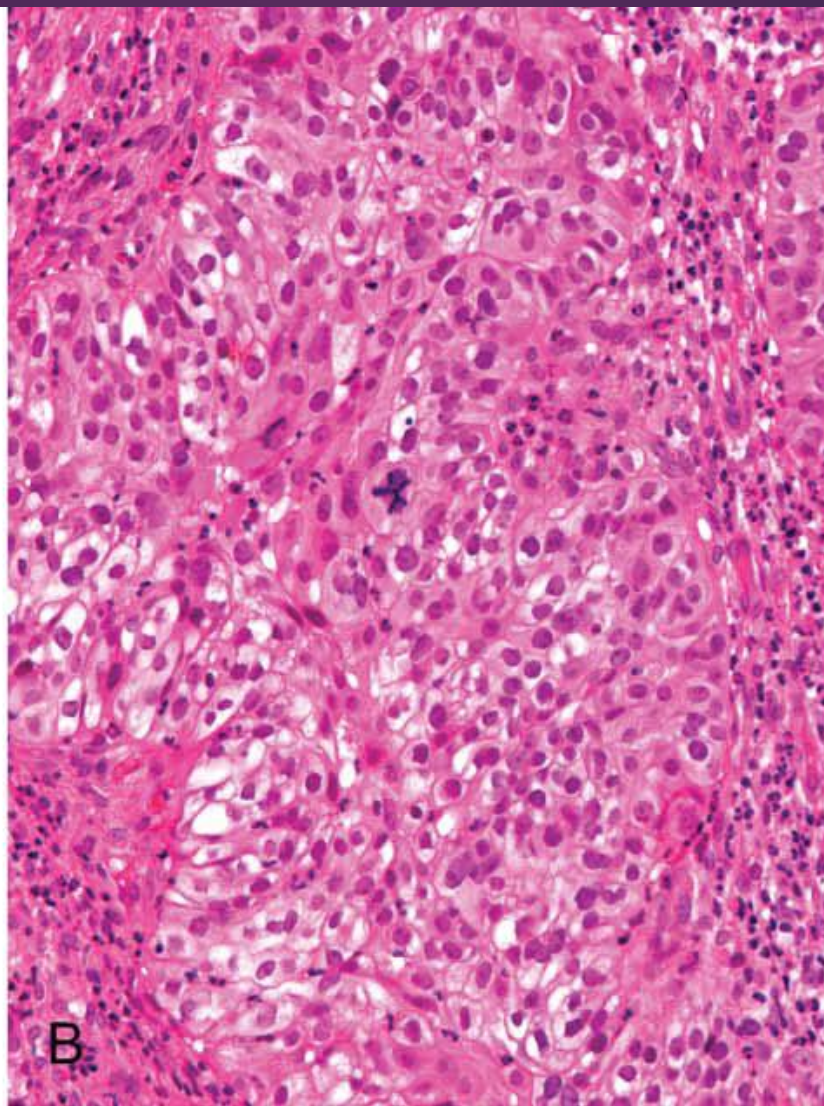
- viaceré typy buniek – svetlé, eozinofilné, skvamoidné, onkocytoidné, mucinózne a **transitionálne** (+ skvamózna, mucinózna metaplázia)
- noduly + duktálna diferenciácia

Rast - solídny, solídne cystický

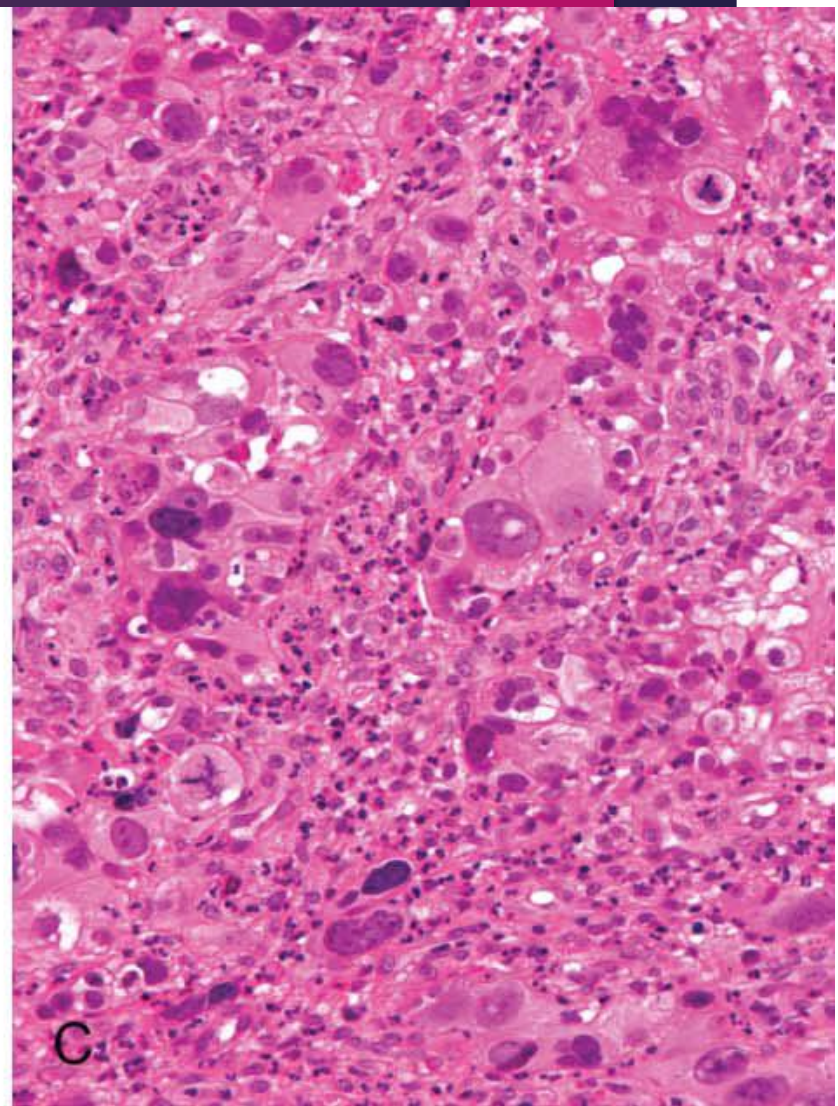




A



B



C

# Hidradenokarcinóm IHC

Žiadne špecifické imuno pre stanovenie dg.

AE1/3, CK5/6, EMA

Cam5.2, CEA, CK7 (luminálne)

p53

Ki67

# Hidradenokarcinóm - genetika

MAML2 - zlom génu

- translokácia t(11;19) CRTC1/MAML2

mutácie P53

amplifikácia HER2/neu terapeutický význam?



## **Clear cell hidradenoma of the skin-a third tumor type with a t(11;19)--associated TORC1-MAML2 gene fusion.**

[Behboudi A<sup>1</sup>](#), [Winnes M](#), [Gorunova L](#), [van den Oord JJ](#), [Mertens F](#), [Enlund F](#), [Stenman G](#).

[Genes Chromosomes Cancer](#). 2007 Jun;46(6):559-63.

## **Frequent fusion of the CRTC1 and MAML2 genes in clear cell variants of cutaneous hidradenomas.**

[Winnes M<sup>1</sup>](#), [Mölne L](#), [Suurküla M](#), [Andrén Y](#), [Persson F](#), [Enlund F](#), [Stenman G](#).

[Ann Diagn Pathol](#). 2016 Aug;23:8-13. doi: 10.1016/j.anndiagpath.2016.04.006. Epub 2016 Apr 16.

## **Cutaneous hidradenoma: a study of 21 neoplasms revealing neither correlation between the cellular composition and CRTC1-MAML2 fusions nor presence of CRTC3-MAML2 fusions.**

[Kyrpychova L<sup>1</sup>](#), [Kacerovska D<sup>2</sup>](#), [Vanecek T<sup>2</sup>](#), [Grossmann P<sup>2</sup>](#), [Michal M<sup>2</sup>](#), [Kerl K<sup>3</sup>](#), [Kazakov DV<sup>4</sup>](#).

[Am J Dermatopathol](#). 2009 May;31(3):236-47. doi: 10.1097/DAD.0b013e3181984f10.

## **Cutaneous hidradenocarcinoma: a clinicopathological, immunohistochemical, and molecular biologic study of 14 cases, including Her2/neu gene expression/amplification, TP53 gene mutation analysis, and t(11;19) translocation.**

[Kazakov DV<sup>1</sup>](#), [Ivan D](#), [Kutzner H](#), [Spagnolo DV](#), [Grossmann P](#), [Vanecek T](#), [Sima R](#), [Kacerovska D](#), [Shelekhova KV](#), [Denisiuk N](#), [Hillen U](#), [Kuroda N](#), [Mukensnabl P](#), [Danis D](#), [Michal M](#).

[J Dermatol](#). 2017 Aug;44(8):e190-e191. doi: 10.1111/1346-8138.13830. Epub 2017 Mar 11.

## **Translocation of the MAML2 gene in hidradenocarcinoma.**

[Yoshimi K<sup>1</sup>](#), [Goto H<sup>2</sup>](#), [Otsuka M<sup>1</sup>](#), [Yoshikawa S<sup>1</sup>](#), [Omodaka T<sup>3</sup>](#), [Kiyohara Y<sup>1</sup>](#).

Hum Pathol. 2017 Dec;70:55-61. doi: 10.1016/j.humpath.2017.10.004. Epub 2017 Oct 24.

## **A novel fusion gene CRTC3-MAML2 in hidradenoma: histopathological significance.**

Kuma Y<sup>1</sup>, Yamada Y<sup>2</sup>, Yamamoto H<sup>2</sup>, Kohashi K<sup>2</sup>, Ito T<sup>1</sup>, Furue M<sup>3</sup>, Oda Y<sup>4</sup>.

cases by fluorescence in situ hybridization. Moreover, neither the fusion genes nor gene rearrangement was detected in prominent cystic tumors and poroid hidradenomas. We conclude that CRTC1/3-MAML2 fusion gene analysis can be a useful method for diagnosing hidradenoma. Considering the histological and genetic similarity to mucoepidermoid carcinoma, hidradenoma may be a cutaneous counterpart of salivary gland mucoepidermoid carcinoma.

Kožný analóg mukoepidermoidného karcinómu  
slinných žliaz?

[Rare Tumors](#). 2015 Feb 25;7(1):5719. doi: 10.4081/rt.2015.5719. eCollection 2015 Feb 11.

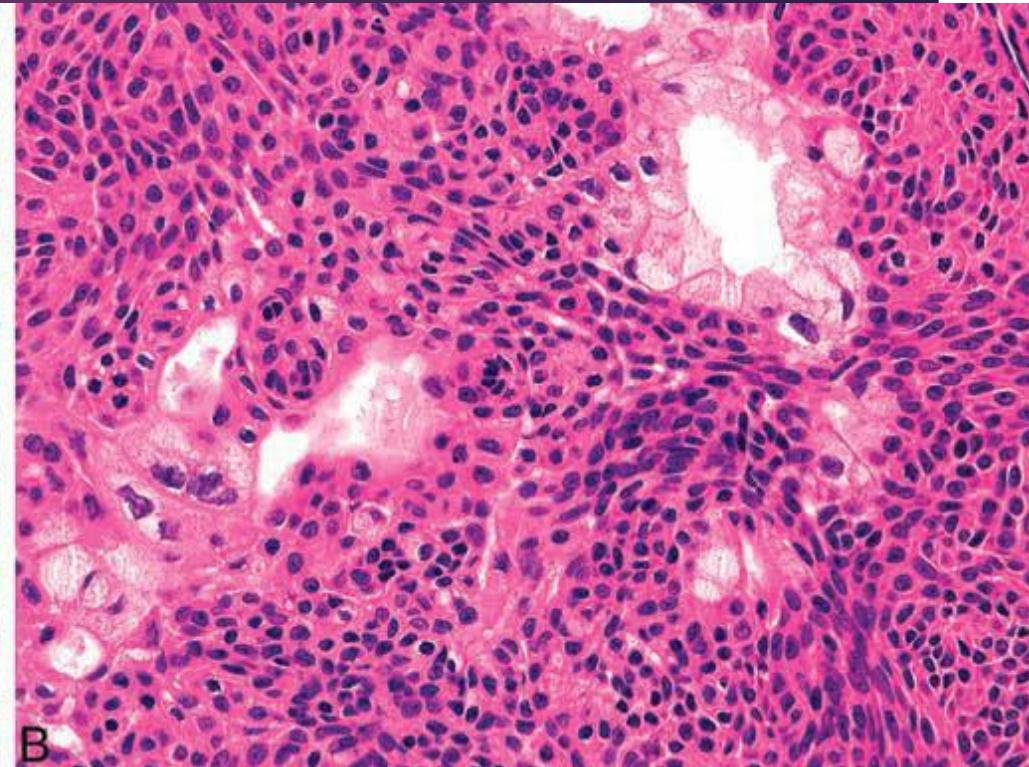
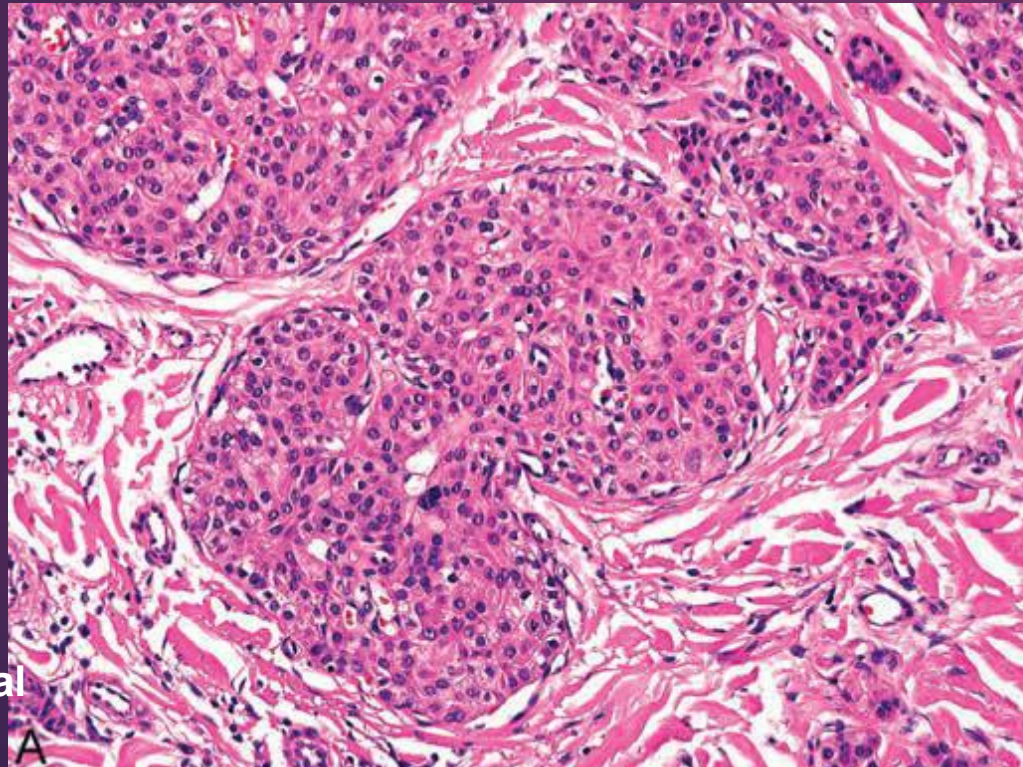
## **Whole exome sequencing of a patient with metastatic hidradenocarcinoma and review of the literature.**

[Gupta E](#)<sup>1</sup>, [Guthrie KJ](#)<sup>2</sup>, [Krishna M](#)<sup>3</sup>, [Asmann Y](#)<sup>4</sup>, [Parker AS](#)<sup>5</sup>, [Joseph RW](#)<sup>1</sup>.

Gene	Gene product name	Genomic event	Gene product	Potential impact of mutation
<i>FGFR1</i>	Fibroblast growth factor receptor 1	Amplification	Tyrosine Kinase Receptor	Increased expression could allow for increased activation of MAPK pathway and cell growth.
<i>CDH1</i>	E-cadherin	c.2439+1G>C	Cell adhesion	Loss of function mutations in CDH1 could allow cells to grow even in the presence of cell to cell contact
<i>MYST3</i>	MYST histone acetyltransferase (monocytic leukemia) 3	Amplification	Histone acetyl transferase	Increased expression could lead towards dysregulated epigenetic changes.
<i>ZNF703</i>	Zinc Finger 703	Amplification	Transcription Factor	Transcriptional corepressor which does not bind directly to DNA and may regulate transcription through recruitment of histone deacetylases to gene promoters
<i>PTCH1</i>	c.C3641T	Missense	p.T1214M	Hedgehog signaling pathway
<i>TCF7L1</i>	c.C710T	Missense	p.S237F	WNT/Hippo signaling pathways
<i>ARID1A</i>	c.G4468T	Nonsense	p.E1490X	Chromatin Remodeling
<i>CDH1</i>	c.2439+1G>C	Splicing	p.E1490X	Cadherin C
<i>FBX011</i>	c.G1993C	Missense	p.D665H	Ubiquitin protein ligase complex
<i>FNBPI</i>	NM_025133	Nonsense	c.G1783T	Formin binding protein family
<i>IL6ST</i>	NM_002184	Missense	c.T2532G	Jak-Stat pathway
<i>MYC</i>	NM_002467	Missense	c.C459G	MYC amino terminal region

# Hidradenokarcinóm DDx

LG – hidradenóm - v 10% fokálne mierne atypie bb.



# Hidradenokarcinóm DDx

LG – hidradenóm

Znaky malignity: asymetria, infiltratívny rast, zvýšená mitotická aktivita, prominentný clefting medzi strómou a nádorovými hniezdami, výrazná dezmozplastická stromálna reakcia

# Hidradenokarcinóm DDx

LG – hidradenóm

Návrh pre klasifikovanie tumoru ako malígneho  
- prítomnosť 3 a viac znakov: strata  
ohraničenia, infiltratívny rast, hlboká extenzia,  
nekróza, perineur. invázia, vaskulárna invázia,  
pleomorfia jadier a 4+ mitózy /10 HPF  
(+ atypické mitózy pri tumoroch s 1 - 2 znakmi)

# Hidradenokarcinóm DDx

HG –

dg HG adnexálneho tumoru ako hidradenoca  
aspoň fokálne partie napodobňujúce  
hidradenóm (nižší grade, typické bunkové  
zloženie alebo sklerotická hyalinizovaná  
stróma)



# Hidradenokarcinóm DDx

Podľa prevažujúceho typu buniek - **skvamoidné**

- Porokarcinóm (asociovaný poróm, početné spojenia s epidermou, ihc: p63...)
- SCC - pseudoglandulárny/akantolytický variant (intraepidermový prekursor ako in situ SCC, -Cam5.2)

# Hidradenokarcinóm DDx

Podľa prevažujúceho typu buniek - clear cells

- spektrum primárnych a mts tumorov (CCRCC)
- Trichilemálny karcinóm (asociácia s folikulom, benígnym prekurzorom, trich.keratinizácia)
- SCC

# Hidradenokarcinóm DDx

Podľa prevažujúceho typu buniek - clear cells

- Bazalióm - clear cell variant (rastový vzor a cytológia BCC; +Ber-EP4)
- Sebaceózný karcinóm (sebaceózna difer., -glykogén, -Cam5.2)
- Balloon cell melanoma (-Cam5.2; +S100 a melanocytové markery)

# Záver

1. Aj „ateróm“ môže prekvapit’...
2. Sampling
3. Vylúčiť mts

# Literatúra

- Kazakov DV et al. Cutaneous adnexal tumors 2009
- Busam KJ ed. Dermatopathology 2nd ed. (Foundations in diagnostic pathology) 2016
- Nazarian RM et al. Atypical and malignant hidradenomas: a histological and immunohistochemical study. Mod Pathol. 2009 Apr;22(4):600-10.
- Gauerke S, Driscoll JJ. Hidradenocarcinomas: a brief review and future directions. Arch Pathol Lab Med. 2010 May;134(5):781-5.
- Nash JW et al. Metastatic hidradenocarcinoma with demonstration of Her-2/neu gene amplification by fluorescence in situ hybridization: potential treatment implications. J Cutan Pathol 2007; 34: 49–54



Ďakujem za pozornosť